

# **Titracije temeljene na oksidacijsko-reduksijskim ravnotežama, usporedba teorijskih krivulja titracija s eksperimentalnim vrijednostima**

---

**Krstulović-Relija, Vedrana**

**Undergraduate thesis / Završni rad**

**2018**

*Degree Grantor / Ustanova koja je dodijelila akademski / stručni stupanj: **University of Split, Faculty of Chemistry and Technology / Sveučilište u Splitu, Kemijsko-tehnološki fakultet***

*Permanent link / Trajna poveznica: <https://urn.nsk.hr/um:nbn:hr:167:952130>*

*Rights / Prava: [In copyright/Zaštićeno autorskim pravom.](#)*

*Download date / Datum preuzimanja: **2024-04-26***

*Repository / Repozitorij:*

[Repository of the Faculty of chemistry and technology - University of Split](#)



**SVEUČILIŠTE U SPLITU**  
**KEMIJSKO-TEHNOLOŠKI FAKULTET**

**TITRACIJE TEMELJENE NA OKSIDACIJSKO-REDUKCIJSKIM  
RAVNOTEŽAMA, USPOREDBA TEORIJSKIH KRIVULJA TITRACIJE  
S EKSPERIMENTALNIM VRIJEDNOSTIMA**

**ZAVRŠNI RAD**

**VEDRANA KRSTULOVIĆ-RELIJA**

**Matični broj: 319**

**Split, rujan 2018.**



**SVEUČILIŠTE U SPLITU**  
**KEMIJSKO-TEHNOLOŠKI FAKULTET**  
**PREDDIPLOMSKI STUDIJ KEMIJE**  
**KEMIJA**

**TITRACIJE TEMELJENE NA OKSIDACIJSKO-REDUKCIJSKIM  
RAVNOTEŽAMA, USPOREDBA TEORIJSKIH KRIVULJA TITRACIJE  
S EKSPERIMENTALNIM VRIJEDNOSTIMA**

**ZAVRŠNI RAD**

**VEDRANA KRSTULOVIĆ-RELIJA**

**Matični broj: 319**

**Split, rujan 2018.**

**UNIVERSITY OF SPLIT  
FACULTY OF CHEMISTRY AND TECHNOLOGY  
UNDERGRADUATE STUDY IN CHEMISTRY  
CHEMISTRY**

**REDOX TITRATIONS, COMPERISON OF THEORETICAL  
TITRATION CURVES WITH EXPERIMENTAL VALUES**

**BACHELOR THESIS**

**VEDRANA KRSTULOVIĆ-RELIJA**

**Parent number: 319**

**Split, September 2018.**

## TEMELJNA DOKUMENTACIJSKA KARTICA

## ZAVRŠNI RAD

Sveučilište u Splitu

Kemijsko-tehnološki fakultet u Splitu

Preddiplomski studij Kemije, smjer: Kemija

**Znanstveno područje:** Prirodne znanosti

**Znanstveno polje:** Analitička kemija

**Tema rada:** Titracije temeljene na oksidacijsko-reduksijskim ravnotežama, usporedba teorijskih krivulja titracije s eksperimentalnim vrijednostima

**Mentor:** doc. dr. sc. Lea Kukoč- Modun

**Pomoć pri izradi:** Maja Biočić, mag. ing. chem. ing.

### **TITRACIJE TEMELJENE NA OKSIDACIJSKO-REDUKCIJSKIM RAVNOTEŽAMA, USPOREDBA TEORIJSKIH KRIVULJA TITRACIJE S EKSPERIMENTALNIM VRIJEDNOSTIMA**

Vedrana Krstulović-Relija, 319

**Sažetak:** Cilj ovog rada je usporedba teorijskih titracijskih krivulja sa eksperimentalnim vrijednostima, za titracije temeljene na oksidacijsko-reduksijskim ravnotežama. Teorijske titracijske krivulje biti će izračunane korištenjem znanja iz oksidacijsko-reduksijskih ravnoteža te programa za tablično računanje (Excel). Eksperimentalna završna točka titracije određena korištenjem vizualnih indikatora, biti će uspoređena sa točkom ekvivalencije koja je izračunana teorijski.

**Ključne riječi:** oksidacijsko-reduksijske ravnoteže, titracijska krivulja

**Rad sadrži:** 50 stranica, 21 slika, 1 tablica, 6 priloga, 8 literaturnih referenci

**Jezik izvornika:** hrvatski

**Sastav Povjerenstva za obranu:**

1. Doc. dr. sc. Franko Burčul – predsjednik
2. Doc. dr. sc. Ivana Škugor Rončević – član
3. Doc. dr. sc. Lea Kukoč Modun – mentor

**Datum obrane:** 28. rujna 2018.

**Rad je u tiskanom i elektroničkom (pdf format) obliku pohranjen u Knjižnici Kemijsko-tehnološkog fakulteta Split, Ruđera Boškovića 35.**

## BASIC DOCUMENTATION CARD

## BACHELOR THESIS

**University of Split**

**Faculty of Chemistry and Technology Split**

**Undergraduated study in Chemistry, orientation: Chemistry**

**Scientific area:** Natural sciences

**Scientific field:** Analytical chemistry

**Thesis subject:** Redox titrations, comparison of theoretical titration curve with experimental values

**Mentor:** doc. dr. sc. Lea Kukoč- Modun

**Technical assistance:** Maja Biočić, mag. ing. chem. ing.

### REDOX TITRATIONS, COMPARISON OF THEORETICAL TITRATION CURVES WITH EXPERIMENTAL VALUES

Vedrana Krstulović-Relija, 319

**Abstract:** The main goal of this work is to compare of theoretical titration curve for redox titration with experimental values. The titration curves will be calculated using equilibrium calculations and spreadsheet (Excel). The experimental end point, using selected visual indicator, would be compared with equivalence point calculated using equilibrium calculations.

**Keywords:** redox titration, titration curve,

**Thesis contains:** 50 pages, 21 figures, 1 tables, 6 supplements, 8 references

**Original in:** Croatian

**Defence committee:**

1. Franko Burčul, PhD, assistant prof.
2. Ivana Škugor Rončević, PhD, assistant prof.
3. Lea Kukoč Modun, PhD, assistant prof.

chair person  
member  
supervisor

**Defence date:** September 28<sup>th</sup>, 2018.

**Printed and electronic (pdf format) version of thesis is deposited** in Library of Faculty of Chemistry and Technology Split, Ruđera Boškovića 35.



*Završni rad je izrađen u Zavodu za analitičku kemiju, Kemijsko-tehnološkog fakulteta u Splitu pod mentorstvom doc. dr. sc. Lee Kukoč Modun, u razdoblju od svibnja do rujna 2018. godine.*

## ZAHVALA

*Zahvaljujem mentorici doc. dr. sc. Lei Kukoč Modun i asistentici Maji Biočić, mag. ing. chem. ing. na strpljenju i susretljivosti, te obitelji i prijateljima na pruženoj potpori tijekom pisanja ovog rada.*

## **ZADATAK ZAVRŠNOG RADA**

1. Provesti eksperimentalno redoks-titracije
2. Korištenjem znanja o oksidacijsko-reduktičkim ravnotežama te programa za tablično računanje (Excel) izračunati i skicirati teorijske krivulje titracije
3. Usporediti završne točke titracije određene korištenjem vizualnih indikatora, sa točkom ekvivalencije koja je izračunata teorijski
4. Odrediti koncentraciju askorbinske kiseline u realnim uzorcima korištenjem redoks-titracija

## **SAŽETAK**

Cilj ovog rada je usporedba teorijskih titracijskih krivulja sa eksperimentalnim vrijednostima, za titracije temeljene na oksidacijsko-reduksijskim ravnotežama. Teorijske titracijske krivulje biti će izračunane korištenjem znanja iz oksidacijsko-reduksijskih ravnoteža te programa za tablično računanje (Excel). Eksperimentalna završna točka titracije određena korištenjem vizualnih indikatora, biti će uspoređena sa točkom ekvivalencije koja je izračunana teorijski.

**Ključne riječi:** oksidacijsko-reduksijske ravnoteže, titracijska krivulja

## **SUMMARY**

The mean of this work is to compare of theoretical titration curve for redox titration with experimental values. The titration curves will be calculated using equilibrium calculations and spreadsheet (Excel). The experimental end point, using selected visual indicator, would be compared with equivalence point calculated using equilibrium calculations.

**Keywords:** redox titration, titration curve

## SADRŽAJ

<b>UVOD .....</b>	1
<b>1 OPĆI DIO .....</b>	2
<b>1.1 REDOKS-TITRACIJE .....</b>	2
1.1.1 Redoks-titracije temeljene na jednostavnoj redoks-reakciji.....	7
1.1.2 Redoks-titracije temeljene na složenoj redoks-reakciji.....	14
1.1.3 Krivulje redoks-titracija .....	16
<b>1.2 REDOKS-INDIKATORI.....</b>	17
<b>1.3 ODREĐIVANJE BAKROVIH(II) IONA .....</b>	20
<b>1.4 ODREĐIVANJE KONCENTRACIJE ASKORBINSKE KISELINE U REALNIM UZORCIMA KORIŠTENJEM REDOKS-TITRACIJE: PLIVIT C TABLETE (500 mg) .....</b>	21
<b>2 EKSPERIMENTALNI DIO .....</b>	23
<b>2.1 POSTUPAK PRIPRAVE I STANDARDIZACIJE OTOPINE NATRIJEVOG TIOSULFATA OTOPINOM KALIJEVOG BROMATA.....</b>	23
<b>2.2 POSTUPAK ODREĐIVANJA BAKROVIH(II) IONA .....</b>	24
<b>2.3 POSTUPAK ODREĐIVANJA BAKROVIH(II) IONA POTENCIOMETRIJSKI PRAĆENO .....</b>	26
<b>2.4 POSTUPAK STANDARDIZACIJE OTOPINE NATRIJEVOG TIOSULFATA OTOPINOM KALIJEVOG JODATA .....</b>	27
<b>2.5 POSTUPAK ODREĐIVANJA ASKORBINSKE KISELINE U REALNOM UZORKU: PLIVIT C TABLETE (500 mg) .....</b>	29
<b>3 REZULTATI I RASPRAVA .....</b>	31
<b>3.1 PRORAČUN FAKTORA I KONCENTRACIJE STANDARDIZIRANE OTOPINE NATRIJEVOG TIOSULFATA .....</b>	31
<b>3.2 TEORIJSKE KRIVULJE TITRACIJE ODREĐIVANJA BAKROVIH(II) IONA, USPOREDBA ZAVRŠNE TOČKE TITRACIJE ODREĐENE VIZUALNIM INDIKATOROM I TOČKE EKVIVALENCIJE .....</b>	33
<b>3.3 REZULTATI POTENCIOMETRIJSKOG PRAĆENJA ODREĐIVANJA BAKROVIH(II) IONA.....</b>	41
<b>3.4 PRORAČUN KONCENTRACIJE ASKORBINSKE KISELINE U REALNOM UZORKU: PLIVIT C TABLETE (500 mg) .....</b>	43
<b>4 ZAKLJUČAK .....</b>	48
<b>5 LITERATURA .....</b>	49
<b>6 PRILOZI.....</b>	50



## UVOD

Razvoj titracija temeljenim na oksidacijsko-reduksijskim ravnotežama, redoks-titracija, započet je nedugo nakon što su razvijene titracijske metode temeljene na kiselo-baznim ravnotežama. Prva redoks-titracija zasnivala se na oksidacijskom djelovanju klora. Razvio ju je francuski kemičar Claude Berthollet 1787. godine u svrhu kvantitativne analize klorne vode (smjesa  $\text{Cl}_2$ ,  $\text{HCl}$  i  $\text{HClO}$ ). Bertholletov sunarodnjak, Joseph Gay-Lussac, tridesetak godina nakon toga razvio je sličnu metodu za određivanje klora u sredstvu za izbjeljivanje. Zajedničko svojstvo obiju metoda je iniciranje završne točke titracije promjenom boje. Naime, reducirani oblik indikatora je plave boje, dok je oksidirani oblik bezbojan. Prije točke ekvivalencije reakcijska otopina je bezbojna, zbog oksidacije indiga u prisutnosti klorida. Nakon točke ekvivalencije prisutan je višak titranta, indiga, u reduciranom obliku, što oboji reakcijsku otopinu plavom bojom. Sredinom devetnaestog stoljeća povećao se broj titrimetrijskih metoda temeljenih na redoks-ravnotežama, uvođenjem oksidirajućih titranata  $\text{MnO}_4^-$ ,  $\text{Cr}_2\text{O}_7^{2-}$  i  $\text{I}_2$  te reducirajućih titranata  $\text{Fe}^{2+}$  i  $\text{S}_2\text{O}_3^{2-}$ . Nedostatak odgovarajućih indikatora kočio je značajniji razvoj titrimetrijskih metoda temeljenih na redoks-ravnotežama. Samo titranti kod kojih se boja oksidiranog i reduciranog oblika znatno razlikuju mogu služiti i kao indikatori, dok je u suprotnom nužna uporaba zasebnog indikatora. Primjer titranta koji ujedno služi i kao indikator je  $\text{MnO}_4^-$ , koji je u oksidiranom obliku intenzivno ljubičaste boje, a njegov reducirani oblik  $\text{Mn}^{2+}$  gotovo bezbojan. Prvi indikator za redoks-titracije bio je difenilamin koji je uveden 1920. godine.

# 1 OPĆI DIO

## 1.1 REDOKS-TITRACIJE

Redoks-titracije temelje se na oksidacijsko-reduksijskim ravnotežama. Oksidacijsko-reduksijske ravnoteže ili skraćeno redoks-ravnoteže temelje se na prijenosu elektrona s jednog reaktanta na drugi, s reducensa na oksidans.

Reaktant koji gubi elektron oksidira se te se naziva reducirajućim reagensom, odnosno reducensom. Reaktant koji prima elektron reducira se i naziva se oksidirajućim reagensom, odnosno oksidansom.<sup>1</sup> Dakle, oksidirajući se reagens reducira, dok se reducirajući reagens oksidira.

Oksidacija je proces davanja elektrona, pri čemu analit prelazi u više oksidacijsko stanje:



Redukcija je proces primanja elektrona, pri čemu analit prelazi u niže oksidacijsko stanje:



Nužno je istaknuti da je polureakcija isključivo teorijski pojam, odnosno da ne može postojati samostalno. Oksidacija i redukcija uvijek se zbivaju u paru, a broj elektrona koji sudjeluje u polureakcijama mora biti jednak.

Reakcija polučlanka je reakcija oksidacije ili redukcije koja se događa na jednoj elektrodi elektrokemijskog članka.

Redoks-titracije temelje se upravo na redoks-reakciji između analita i titranta.



U reakciji 1.1. analit (A) je u reduciranom stanju i reagira s titrantom (T) koji je u oksidiranom stanju. Titrant djeluje kao oksidacijsko sredstvo te se sam reducira, a analit se oksidira. Za određivanje potencijala redoks-para (polureakcija) koristi se Nernstov

izraz. Nernstova jednadžba upravo povezuje potencijal otopine s koncentracijama reaktanata i produkata koji sudjeluju u redoks-reakciji.

Nernstovom jednadžbom iskazana je sila koja pokreće reakciju i to u dva dijela. Prvi je dio standardni reduksijski potencijal,  $E^0$ , koji iskazuje pokretačku silu u standardnim uvjetima, kada su aktiviteti oksidiranog i reduciranog oblika jednaki jedinicama. Drugi dio iskazuje ovisnost o koncentracijama svih reagirajućih vrsta iz polureakcije.<sup>1</sup>

Za jednostavnu polureakciju:



piše se izraz za potencijal polureakcije:

$$E = E^0 - \frac{R \times T}{z \times F} \times \ln \frac{a_{\text{red}}}{a_{\text{oks}}} \quad (1.5.)$$

gdje su:

$E^0$  – standardni reduksijski potencijal izražen u voltima

$R$  – plinska konstanta čija je vrijednost  $8,31434 \text{ J K}^{-1} \text{ mol}^{-1}$

$T$  – temperatura izražena u kelvinima (K)

$F$  – Faradayeva konstanta koja iznosi:  $9,648670 \times 10^4 \text{ C mol}^{-1}$

$z$  – broj elektrona koji sudjeluju u polureakciji

$a_{\text{red}}$  – aktivitet reduciranog oblika redoks-para

$a_{\text{oks}}$  – aktivitet oksidiranog oblika redoks-para

Za složenu polureakciju:



uvrštavanjem ravnotežnih koncentracija umjesto aktiviteta u Nernstov izraz, dobije se sljedeća jednadžba:

$$E = E^0 - \frac{R \times T}{z \times F} \times \ln \frac{[C]^c \times [D]^d}{[A]^a \times [B]^b} \quad (1.7.)$$

Zamjenom prirodnog logaritma dekadskim i uvrštavanjem svih poznatih konstanti pri 25 °C Nernstova jednadžba poprima oblik:

$$E = E^0 - \frac{0,0592}{z} \times \log \frac{[C]^c \times [D]^d}{[A]^a \times [B]^b} \quad (1.8.)$$

Napredovanje redoks-titracije se može pratiti potenciometrijski odnosno primjenom elektrokemijskog članka koji se sastoji od Pt-elektroda – RE (redoks elektroda – referentna elektroda).

Referentna elektroda je jedan polučlanak, indikatorska elektroda je drugi polučlanak. Indikatorska elektroda ne sudjeluje u reakciji s redoks parom koji formira njen potencijal. Platina, zlato i staklasti ugljik su najčešće korišteni materijali za izradu inertnih elektroda.

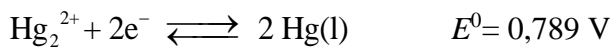
Redoks-elektroda je izrađena od inertnog materijala koji sam ne sudjeluje u redoks reakciji već služi samo kao izvor i ponor elektrona. Referentna elektroda je elektroda s konstantnim potencijalom koji ne ovisi o sastavu otopine, a najčešće korištene referentne elektrode su zasićena kalomelna elektroda (ZKE) i Ag/AgCl elektroda.<sup>1</sup>

Potencijal referentne ZKE elektrode zasniva se na polureakciji:



ZKE kao elektrolitnu otopinu sadržava zasićenu otopinu KCl. Poznavajući veličinu termodinamičke konstante produkta topljivosti  $\text{Hg}_2\text{Cl}_2(\text{s})$  i standardnog potencijala redoks-para  $\text{Hg}_2^{2+}/\text{Hg(l)}$  moguće je izračunati standardni potencijal kalomelne elektrode na sljedeći način:

$$K_{\text{sp}}^0(\text{Hg}_2\text{Cl}_2) = 2,4 \times 10^{-18}$$



$$E = E^0(\text{Hg}_2^{2+}/\text{Hg}) - \frac{0,0592}{2} \times \log \frac{1}{a(\text{Hg}_2^{2+})}$$

$$K_{\text{sp}}^0(\text{Hg}_2\text{Cl}_2) = a(\text{Hg}_2^{2+}) \times a(\text{Cl}^-)^2$$

$$a(\text{Hg}_2^{2+}) = \frac{K_{\text{sp}}^0(\text{Hg}_2\text{Cl}_2)}{a(\text{Cl}^-)^2}$$

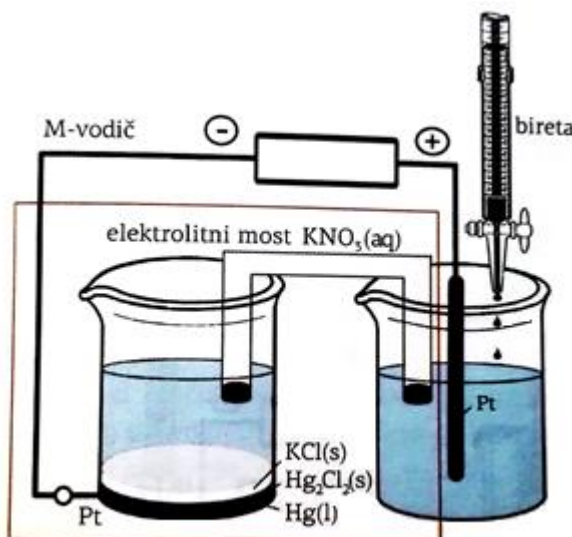
$$E = E^0(\text{Hg}_2^{2+}/\text{Hg}) - \frac{0,0592}{2} \times \log a(\text{Cl}^-)^2 + \frac{0,0592}{2} \times \log K_{\text{sp}}^0(\text{Hg}_2\text{Cl}_2)$$

$$E = 0,789 - \frac{0,0592}{2} \times \log a(\text{Cl}^-)^2 - 0,521$$

$$E = 0,268 - 0,0592 \times \log a(\text{Cl}^-)^2$$

$$E = 0,268 - 0,0592 \times \log [\text{Cl}^-]^2$$

Standardni potencijal kalomelne elektrode ( $E^0$ ) iznosi +0,268 V. Ako je elektroda u kontaktu sa zasićenom otopinom KCl pri 25 °C njen potencijal tada iznosi +0,241 V.



Slika 1.1. Zasićena kalomelna elektroda (izvor slike: Nj. Radić, L. Kukoč Modun, *Uvod u analitičku kemiju*, Školska knjiga,d.d., Zagreb, 2016.; uz dopuštenje autora)<sup>1</sup>

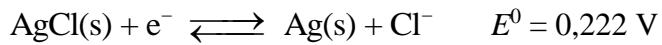
Druga najčešće korištena referentna elektroda je Ag/AgCl koja se zasniva na polureakciji:



Poznavajući veličine termodinamičke konstante produkta topljivosti  $\text{AgCl}(s)$  i standardnog potencijala redoks-para  $\text{Ag}^+/\text{Ag}(s)$  moguće je izračunati standardni potencijal Ag/AgCl elektrode.

$$K_{\text{sp}}^0(\text{AgCl}) = 1,8 \times 10^{-10}$$





$$E = E^0(\text{Ag}^+/\text{Ag}) - 0,0592 \times \log \frac{1}{a(\text{Ag}^+)}$$

$$K_{\text{sp}}^0(\text{AgCl}) = a(\text{Ag}^+) \times a(\text{Cl}^-)$$

$$a(\text{Ag}^+) = \frac{K_{\text{sp}}^0(\text{AgCl})}{a(\text{Cl}^-)}$$

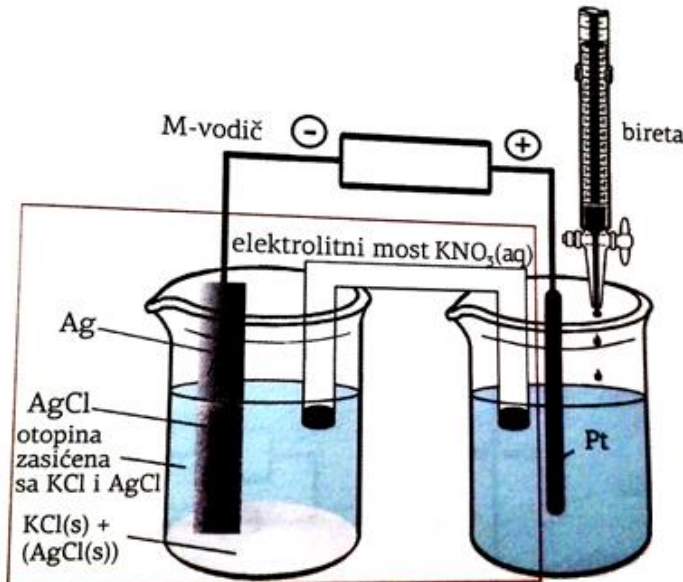
$$E = E^0(\text{Ag}^+/\text{Ag}) - 0,0592 \times \log a(\text{Cl}^-) + 0,0592 \times \log K_{\text{sp}}^0(\text{AgCl})$$

$$E = 0,799 - \log a(\text{Cl}^-) - 0,577$$

$$E = 0,222 - 0,0592 \times \log a(\text{Cl}^-)$$

$$E = 0,222 - 0,0592 \times \log [\text{Cl}^-]$$

Standardni potencijal Ag/AgCl elektrode ( $E^0$ ) iznosi +0,222 V. Ako je elektroda u kontaktu s zasićenom otopinom KCl pri 25 °C njen potencijal tada iznosi +0,197 V.



Slika 1.2. Referentna Ag/AgCl elektroda (izvor slike: Nj. Radić, L. Kukoč Modun, *Uvod u analitičku kemiju*, Školska knjiga,d.d., Zagreb, 2016.; uz dopuštenje autora)<sup>1</sup>

### 1.1.1 Redoks-titracije temeljene na jednostavnoj redoks-reakciji

Jednostavna redoks-reakcija je ona redoks-reakcija koja je dobivena kombinacijom polureakcija u kojima sudjeluje jednak broj elektrona.



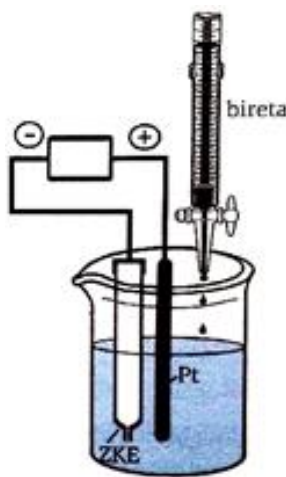
$$a = b = z$$

Oduzme li se polureakcija analita od polureakcije titranta dobiva se jednostavna redoks-reakcija između analita i titranta.



Primjer redoks-titracije temeljene na jednostavnoj redoks-reakciji je titracija 50,00 mL otopine željezovih(II) iona,  $\{c(\text{Fe}^{2+}) = 0,0500 \text{ mol L}^{-1}\}$  s standardnom otopinom cerijevih(IV) iona  $\{c(\text{Ce}^{4+}) = 0,1000 \text{ mol L}^{-1}\}$  u otopini perklorne kiseline  $\{c(\text{HClO}_4) = 1,0 \text{ mol L}^{-1}\}$ .

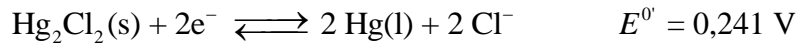
Titracija se temelji na sljedećoj reakciji:



Slika 1.3. Mjerni sklop za potenciometrijsko praćenje napredovanja redoks-titracije uz upotrebu komercijalne izvedbe ZKE (izvor slike: Nj. Radić, L. Kukoč Modun, *Uvod u analitičku kemiju*, Školska knjiga,d.d., Zagreb, 2016.; uz dopuštenje autora)<sup>1</sup>

Potencijal indikatorske elektrode, odnosno potencijal članka, formira smjesa iona:  $\text{Fe}^{2+}$ ,  $\text{Fe}^{3+}$ ,  $\text{Ce}^{3+}$ ,  $\text{Ce}^{4+}$  koja nastaje redoks-reakcijom. Potencijal referentne elektrode, koja se dogovorno u analitičkoj praksi označava kao anoda, je konstantan tj. ne ovisi o sastavu otopine. Formalni potencijal referentne elektrode u otopini perklorne kiseline

$\{ c(\text{HClO}_4) = 1,0 \text{ mol L}^{-1} \}$ ,  $E^0'$ , određen je referentnom polureakcijom članka:

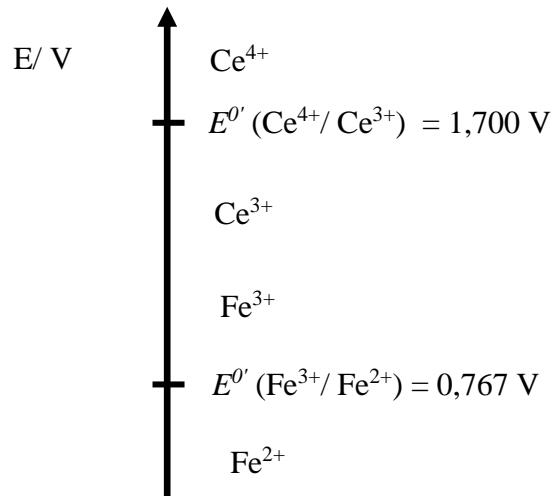


Dakle, kao referentna elektroda u ovom primjeru koristi se zasićena kalomelna elektroda.

Indikatorska elektroda, katoda, je u ovom primjeru platinska žica, a dvije indikatorske polureakcije (poznatih formalnih potencijala u perklornoj kiselini  $\{ c(\text{HClO}_4) = 1,0 \text{ mol L}^{-1} \}$ ) formiraju potencijal članka.



Područje dominantnosti pojedinih iona u smjesi ovisno o njihovim formalnim potencijalima moguće je prikazati linijskim dijagramom.



Konstanta redoks-reakcije predstavlja njenu potpunost, a poznавање formalnih potencijala redoks-parova koji sudjeluju u određenoj redoks-reakciji omogуćava njen izračunavanje.

$$\log K_{\text{redoks}} (\text{ostvarena}) = \frac{z \times (E_{\text{T}}^0 - E_{\text{A}}^0)}{0,0592} \quad (1.17.)$$

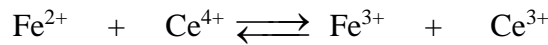
$$\log K_{\text{redoks}}(\text{ostvarena}) = \frac{1 \times (1,700 - 0,767)}{0,0592} = 15,76$$

$$K_{\text{redoks}}(\text{ostvarena}) = 5,76 \times 10^{15}$$

Ostvarena konstanta redoks-reakcije upućuje na visok stupanj potpunosti reakcije, mnogo veći od 99,9 % što je pokazatelj zadovoljavajuće kvantitativnosti reakcije.

Potrebna konstanta redoks-reakcije,  $K_{\text{redoks}}$  (potrebna), ovisi o stehiometrijskom odnosu reaktanata te osigurava potpunost od 99,9 %.

Na početku:  $c$                      $c$



Na kraju:     $0,001c$      $0,001c$          $0,999c$          $0,999c$

$$K_{\text{redoks}}(\text{potrebna}) = \frac{[\text{Fe}^{3+}] \times [\text{Ce}^{3+}]}{[\text{Fe}^{2+}] \times [\text{Ce}^{4+}]} = \frac{0,999c \times 0,999c}{0,001c \times 0,001c} \cong 1 \times 10^6$$

Za računanje potencijala članka rabe se jednadžbe:

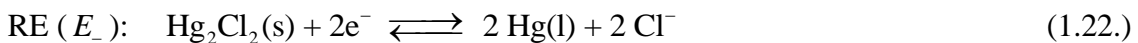
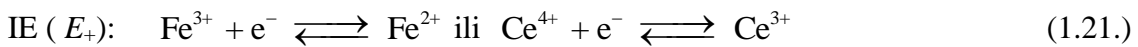
$$E = E_{\text{katode}} - E_{\text{anode}}, \quad (1.18.)$$

$$E = E_+ - E_-, \quad (1.19.)$$

odnosno

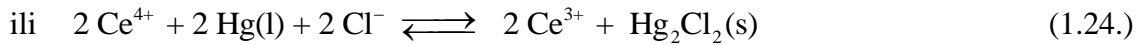
$$E = E_{\text{IE}} - E_{\text{RE}}, \quad (1.20.)$$

gdje IE označava indikatorsku elektrodu, a RE referentnu elektrodu.



Potencijal indikatorske elektrode određen je redoks-parom analita ili/ i titranta, a reakcija članka dobije se ako se polureakcija na anodi ( $E_-$ ) oduzme od polureakcije na katodi ( $E_+$ ).

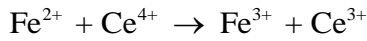




Elektrokemijski članci u suštini mjere razliku potencijala između katode i anode, mjeru sklonosti reakcije da od neravnotežnog stanje prijeđe u ravnotežno. Navedene reakcije članka se zapravo ne odigravaju zbog velikog ulaznog otpora mjernog instrumenta. Formirani galvanski članak stoga samo pokazuje nastojanje elektrona da protječu kroz instrument, od anode (ZKE) prema katodi (Pt-žici).<sup>1</sup>

Potencijal članka ovisi o koncentraciji iona  $\text{Fe}^{2+}$ ,  $\text{Fe}^{3+}$ ,  $\text{Ce}^{3+}$  i  $\text{Ce}^{4+}$ , ali sam ne mijenja njihovu koncentraciju odnosno ta promjena je zanemariva.

Prije točke ekvivalencije svaki obrok titranta prevodi odgovarajuću množinu analita u oksidirani oblik, što se može zaključiti iz ostvarene konstante promatrane redoks-reakcije.



Primjenom općenitih jednadžbi moguće je izračunati volumen titranta u točki ekvivalencije.

$$V_A \times c_A \times a = V_{T.E.} \times c_T \times b \quad (1.25.)$$

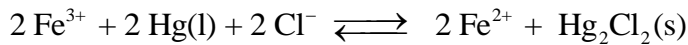
S obzirom na to da se radi o jednostavnoj redoks-reakciji u kojoj je broj izmijenjenih elektrona jednak odnosno  $z = a = b$ , to nam omogućava izračun volumena titranta u točki ekvivalencije:

$$\underbrace{V_A \times c_A}_{n(\text{Fe}^{2+})} = \underbrace{V_{T.E.} \times c_T}_{n(\text{Ce}^{4+})} \quad (1.26.)$$

$$V_{T.E.} = \frac{V_A \times c_A}{c_T} \quad (1.27.)$$

Potencijal elektrokemijskog članka nije moguće izračunati prije prvog dodatka titranta. Prije dodatka prvog obroka titranta (u ovom slučaju  $\text{Ce}^{4+}$ ) u reakcijskoj otopini teorijski postoji samo  $\text{Fe}^{2+}$ , dok u realnoj otopini uvijek postoji i  $\text{Fe}^{3+}$  koji nastaje oksidacijom  $\text{Fe}^{2+}$  kisikom iz zraka zbog čega će mjerni instrument bilježiti stabilan potencijal elektrokemijskog članka. Zbog činjenice da nije moguće izračunati ravnotežnu koncentraciju oksidiranog oblika u reakcijskoj otopini, nije moguće izračunati teorijski potencijal elektrokemijskog članka.

Računanjem potencijala članka prije točke ekvivalencije moguće je izračunati koncentracije željeza u obama oksidacijskim stanjima, stoga je prikladnije koristiti se sljedećom reakcijom članka:



$$E_{\text{članka}} = \left\{ E^0(\text{Fe}^{3+}/\text{Fe}^{2+}) - 0,0592 \times \log \frac{\left[ \text{Fe}^{2+} \right]}{\left[ \text{Fe}^{3+} \right]} \right\} - E_{\text{ZKE}}^0 \quad (1.28.)$$

Odnos koncentracija analita (A) u reduciranom i oksidiranom obliku može se za svaku točku titracije prije točke ekvivalencije iskazati poznavajući dodani volumen titranta (T), V, i prethodno izračunatim volumenom titranta u toči ekvivalencije,  $V_{\text{T.E.}}$ :

$$\frac{\left[ \text{Fe}^{2+} \right]}{\left[ \text{Fe}^{3+} \right]} = \frac{\left[ \text{A}_{\text{red}} \right]}{\left[ \text{A}_{\text{oks}} \right]} = \frac{n(\text{A}_{\text{red}})/(V_A + V)}{n(\text{A}_{\text{oks}})/(V_A + V)} = \frac{n(\text{A}_{\text{red}})}{n(\text{A}_{\text{oks}})}$$

$$\frac{n(\text{A}_{\text{red}})}{n(\text{A}_{\text{oks}})} = \frac{(V_{\text{T.E.}} \times c_T) - (V \times c_T)}{V \times c_T} = \frac{(V_{\text{T.E.}} - V) \times c_T}{V \times c_T} = \frac{(V_{\text{T.E.}} - V)}{V}$$

Izraz:

$$\frac{\left[ \text{A}_{\text{red}} \right]}{\left[ \text{A}_{\text{oks}} \right]} = \frac{(V_{\text{T.E.}} - V)}{V} \quad (1.29.)$$

se uvrsti u jednadžbu za izračun potencijala članka

$$E_{\text{članka}} = \left\{ E^0(\text{Fe}^{3+}/\text{Fe}^{2+}) - 0,0592 \times \log \frac{\left[ \text{Fe}^{2+} \right]}{\left[ \text{Fe}^{3+} \right]} \right\} - E_{\text{ZKE}}^0$$

$$E_{\text{članka}} = \left\{ E^0(\text{Fe}^{3+}/\text{Fe}^{2+}) - 0,0592 \times \log \frac{(V_{\text{T.E.}} - V)}{V} \right\} - E_{\text{ZKE}}^0$$

Dakle, opća jednadžba za izračunavanje potencijala članka prije točke ekvivalencije kod redoks-titracija temeljenima na jednostavnoj redoks-reakciji glasi:

$$E_{\text{članka}} = \left\{ E_{\text{A}}^0 - \frac{0,0592}{z} \times \log \frac{(V_{\text{T.E.}} - V)}{V} \right\} - E_{\text{RE}}^0 \quad (1.30.)$$

Za računanje potencijala članka u točki ekvivalencije obje reakcije članka su jednakog pогодне односно nepогодне, jer u točki ekvivalencije nije moguće primjenom

kemijskog računa izračunati koncentraciju analita u reduciranom obliku ( $\text{Fe}^{2+}$ ) i koncentraciju titranta u oksidiranom obliku ( $\text{Ce}^{4+}$ ). Te koncentracije ovisno o potpunosti redoks-reakcije teže nuli. Budući da vrste koje sudjeluju u redoks-reakciji formiraju potencijal katode (IE) dok je potencijal anode (RE) neovisan o sastavu otopine u razmatranje se uzima upravo potencijal katode u točki ekvivalencije.

$$E_{\text{IE}} = E^0 (\text{Fe}^{3+}/\text{Fe}^{2+}) - 0,0592 \times \log \frac{[\text{Fe}^{2+}]}{[\text{Fe}^{3+}]} \quad (1.31.)$$

$$E_{\text{IE}} = E^0 (\text{Ce}^{4+}/\text{Ce}^{3+}) - 0,0592 \times \log \frac{[\text{Ce}^{3+}]}{[\text{Ce}^{4+}]} \quad (1.32.)$$

Kada se gore navedeni potencijali indikatorske elektrode zbroje dobivamo:

$$2 \times E_{\text{IE}} = E^0 (\text{Fe}^{3+}/\text{Fe}^{2+}) + E^0 (\text{Ce}^{4+}/\text{Ce}^{3+}) - 0,0592 \times \log \frac{[\text{Fe}^{2+}]}{[\text{Fe}^{3+}]} - 0,0592 \times \log \frac{[\text{Ce}^{3+}]}{[\text{Ce}^{4+}]} \quad (1.33.)$$

$$2 \times E_{\text{IE}} = E^0 (\text{Fe}^{3+}/\text{Fe}^{2+}) + E^0 (\text{Ce}^{4+}/\text{Ce}^{3+}) - 0,0592 \times \log \frac{[\text{Fe}^{2+}] \times [\text{Ce}^{3+}]}{[\text{Fe}^{3+}] \times [\text{Ce}^{4+}]} \quad (1.33.)$$

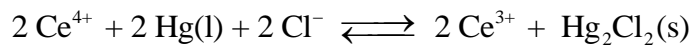
Konačno, koncentracije analita u oksidiranom obliku i titranta u reduciranom obliku u točki ekvivalencije su jednake:  $[\text{Fe}^{3+}] = [\text{Ce}^{3+}]$ , kao i koncentracije analita u reduciranom obliku i titranta u oksidiranom obliku, ali je njihovo računanje nešto složenije.

Možemo zaključiti da je potencijal indikatorske elektrode, katode, u točki ekvivalencije jednak aritmetičkoj sredini standardnih, formalnih potencijala analita i titranta.

$$E_{\text{IE}} = \frac{E_{\text{A}}^0 - E_{\text{T}}^0}{2} \quad (1.33.)$$

Dakle, potencijal članka u točki ekvivalencije je:  $E_{\text{članka}} = E_{\text{IE}} - E_{\text{RE}}$

Pri računanju potencijala članka nakon točke ekvivalencije prikladno je koristiti reakciju:



Nakon točke ekvivalencije moguće je izračunati koncentraciju cerija u objema oksidacijskim stanjima.

$$E_{\text{članka}} = \left\{ E^0(\text{Ce}^{4+}/\text{Ce}^{3+}) - 0,0592 \times \log \frac{[\text{Ce}^{3+}]}{[\text{Ce}^{4+}]} \right\} - E_{\text{ZKE}}^0 \quad (1.34.)$$

Koncentracija titranta u reduciranim i oksidiranim obliku mogu se iskazati uz pomoć dodanog volumena titranta i volumena točke ekvivalencije.

$$\frac{[\text{Ce}^{3+}]}{[\text{Ce}^{4+}]} = \frac{[T_{\text{red}}]}{[T_{\text{oks}}]} = \frac{n(T_{\text{red}})/(V_A + V)}{n(T_{\text{oks}})/(V_A + V)} = \frac{n(T_{\text{red}})}{n(T_{\text{oks}})}$$

$$\frac{n(T_{\text{red}})}{n(T_{\text{oks}})} = \frac{V_{\text{T.E.}} \times c_T}{(V \times c_T) - (V_{\text{T.E.}} \times c_T)} = \frac{V_{\text{T.E.}} \times c_T}{(V - V_{\text{T.E.}}) \times c_T} = \frac{V_{\text{T.E.}}}{(V - V_{\text{T.E.}})}$$

Izraz:

$$\frac{[T_{\text{red}}]}{[T_{\text{oks}}]} = \frac{V_{\text{T.E.}}}{(V - V_{\text{T.E.}})} \quad (1.35.)$$

se uvrsti u jednadžbu za izračun potencijala članka

$$E_{\text{članka}} = \left\{ E^0(\text{Ce}^{4+}/\text{Ce}^{3+}) - 0,0592 \times \log \frac{[\text{Ce}^{3+}]}{[\text{Ce}^{4+}]} \right\} - E_{\text{ZKE}}^0$$

$$E_{\text{članka}} = \left\{ E^0(\text{Ce}^{4+}/\text{Ce}^{3+}) - 0,0592 \times \log \frac{V_{\text{T.E.}}}{(V - V_{\text{T.E.}})} \right\} - E_{\text{ZKE}}^0$$

Dakle, opća jednadžba za izračunavanje potencijala članka nakon točke ekvivalencije kod redoks-titracija temeljenima na jednostavnoj redoks-reakciji glasi:

$$E_{\text{članka}} = \left\{ E_{\text{T}}^0 - \frac{0,0592}{z} \times \log \frac{V_{\text{T.E.}}}{(V - V_{\text{T.E.}})} \right\} - E_{\text{RE}}^0 \quad (1.36.)$$

### 1.1.2 Redoks-titracije temeljene na složenoj redoks-reakciji

Složena redoks reakcija dobivena je kombinacijom polureakcija u kojima sudjeluje različit broje elektrona.



$$a \neq b$$

Izjednačavanjem broja elektrona u objema polureakcijama dobije se:



Oduzimanjem polureakcije analita od polureakcije titranta dobije se složena redoks-reakcija između analita i titranta.



Računanje potencijala članka prije točke ekvivalencije temelji se na primjeni sljedećih jednadžbi:

$$E_{\text{katode}} = E_A^0 - \frac{0,0592}{a} \times \log \frac{[A_{\text{red}}]}{[A_{\text{oks}}]} \quad (1.42.)$$

$$E_{\text{članka}} = \left\{ E_A^0 - \frac{0,0592}{a} \times \log \frac{[A_{\text{red}}]}{[A_{\text{oks}}]} \right\} - E_{\text{RE}} \quad (1.43.)$$

$$V_A \times c_A \times a = V_T \times c_T \times b \quad (1.44.)$$

$$\frac{V_A \times c_A}{n(A_{\text{oks}})} = V_T \times c_T \times \frac{b}{a} \quad (1.45.)$$

$$V_A \times c_A \times a = V_{\text{T.E.}} \times c_T \times b$$

$$V_{\text{T.E.}} = \frac{V_A \times c_A}{c_T} \times \frac{a}{b} \quad (1.46.)$$

Odnos množina odnosno koncentracija oksidiranog i reduciranog oblika analita može se izračunati na dva načina:

$$1. \frac{n(A_{\text{red}})}{n(A_{\text{oks}})} = \frac{(V_A \times c_A) - (V \times c_T \times \frac{b}{a})}{(V \times c_T \times \frac{b}{a})} \quad (1.47.)$$

$$2. \frac{n(A_{\text{red}})}{n(A_{\text{oks}})} = \frac{(V_{\text{T.E.}} \times c_T \times \frac{b}{a}) - (V \times c_T \times \frac{b}{a})}{(V \times c_T \times \frac{b}{a})} = \frac{(V_{\text{T.E.}} - V) \times c_T \times \frac{b}{a}}{V \times c_T \times \frac{b}{a}} = \frac{(V_{\text{T.E.}} - V)}{V} \quad (1.48.)$$

Konačno, jednadžba za računanje potencijala članka prije točke ekvivalencije glasi:

$$E_{\text{članka}} = \left\{ E_A^0 - \frac{0,0592}{a} \times \log \frac{(V_{\text{T.E.}} - V)}{V} \right\} - E_{\text{RE}} \quad (1.49.)$$

$V$  – dodani volumen titranta

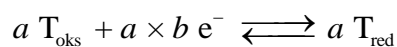
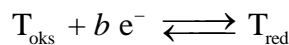
$V_{\text{T.E.}}$  – volumeni titranta u točki ekvivalencije

Vidljivo je da su jednadžbe za izračun potencijala članka prije točke ekvivalencije za jednostavnu i složenu redoks-reakciju jednake.

Za računanje potencijala članka u točki ekvivalencije kod složenih redoks-reakcija rabi se sljedeća jednadžba:

$$E_{\text{članka}} = \underbrace{\left\{ \frac{a \times E_A^0 + b \times E_T^0}{a+b} \right\}}_{E_K} - E_{\text{RE}} \quad (1.50.)$$

Pri računanju potencijala članka nakon točke ekvivalencije prikladne su polureakcije titranta:



Potencijal katode izražava se sljedećom jednadžbom:

$$E_{\text{katode}} = E_{\text{T}}^0 - \frac{0,0592}{b} \times \log \left[ \frac{\text{T}_{\text{red}}}{\text{T}_{\text{oks}}} \right] \quad (1.51.)$$

Također, poznavanjem volumena titranta u točki ekvivalencije moguće je dovesti u vezu odnos množina oksidiranog i reduciranog oblika titranta te volumena istog.

$$\begin{aligned} \left[ \frac{\text{T}_{\text{red}}}{\text{T}_{\text{oks}}} \right] &= \frac{n(\text{T}_{\text{red}})/(V_A + V)}{n(\text{T}_{\text{oks}})/(V_A + V)} = \frac{n(\text{T}_{\text{red}})}{n(\text{T}_{\text{oks}})} = \frac{V_{\text{T.E.}} \times c_{\text{T}}}{(V \times c_{\text{T}}) - (V_{\text{T.E.}} \times c_{\text{T}})} \\ \left[ \frac{\text{T}_{\text{red}}}{\text{T}_{\text{oks}}} \right] &= \frac{V_{\text{T.E.}} \times c_{\text{T}}}{(V - V_{\text{T.E.}}) \times c_{\text{T}}} = \frac{V_{\text{T.E.}}}{(V - V_{\text{T.E.}})} \end{aligned} \quad (1.52.)$$

Konačno, moguće je izvesti izraz za potencijal katode te potencijal članka nakon točke ekvivalencije.

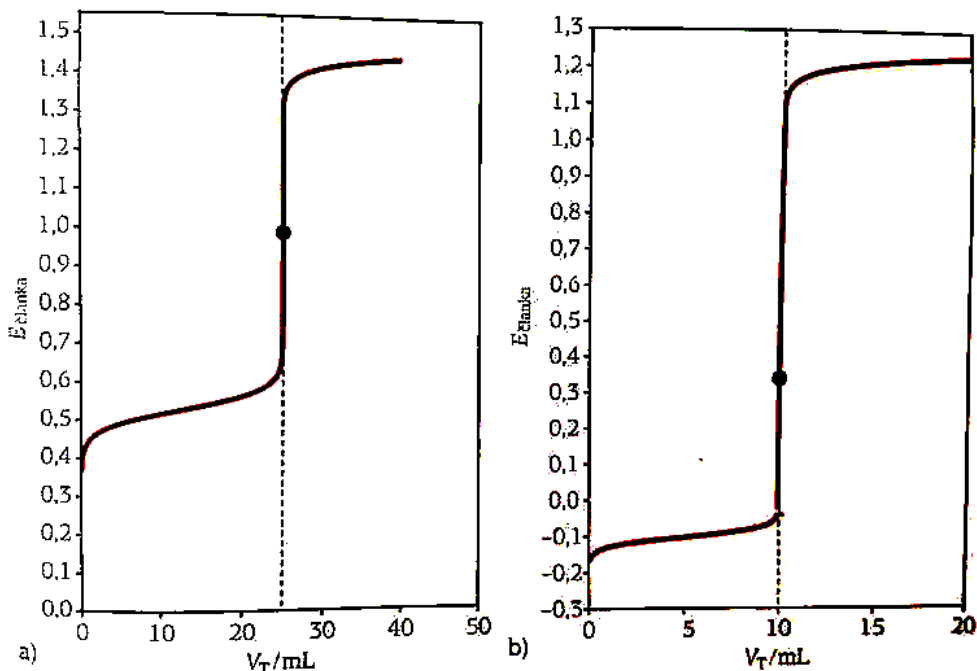
$$E_{\text{katode}} = E_{\text{T}}^0 - \frac{0,0592}{b} \times \log \frac{V_{\text{T.E.}}}{(V - V_{\text{T.E.}})} \quad (1.53.)$$

$$E_{\text{članka}} = \left\{ E_{\text{T}}^0 - \frac{0,0592}{b} \times \log \frac{V_{\text{T.E.}}}{(V - V_{\text{T.E.}})} \right\} - E_{\text{RE}}$$

### 1.1.3 Krivulje redoks-titracija

Kod prikaza krivulja redoks-titracija na apcisi se nalazi kao i kod svih drugih titracijskih krivulja volumen dodanog titranta, a na ordinati potencijal elektrokemijskog članka.<sup>1</sup>

Sve titracijske krivulje imaju isti izgled usprkos tomu što je kod kiselo-baznih titracija i kompleksometrijskih titracija na ordinati logaritamska p-funkcija. Razlog tomu je logaritamska ovisnost potencijala redoks-elektrode o odnosu koncentracija reduciranog i oksidiranog oblika analita ili titranta.<sup>1</sup> Titracijska krivulja pokazuje promjenu koncentracije H<sup>+</sup> iona (kao pH) ili koncentracije M<sup>n+</sup> (kao pM) o volumenu dodanog titranta kod kiselo-baznih i kompleksometrijskih titracija, odnosno potencijal elektrokemijskog članka (umjesto koncentracije jedne vrste) o volumenu dodanog titranta kod redoks-titracija.<sup>2</sup>



Slika 1.4. Teorijske krivulje redoks titracija koje se zasnivaju na a) jednostavnoj redoks-reakciji (stehiometrijski odnos 1:1) i b) složenoj redoks-reakciji (stehiometrijski odnos 1:2) (izvor slike: Nj. Radić, L. Kukoč Modun, *Uvod u analitičku kemiju*, Školska knjiga,d.d., Zagreb, 2016.; uz dopuštenje autora)<sup>1</sup>

Usporedbom teorijskih krivulja redoks-titracija koje se zasnivaju na jednostavnoj redoks-reakciji i na složenoj redoks-reakciji može se zaključiti da su krivulje redoks-titracija koje se zasnivaju na jednostavnoj redoks-reakciji simetrične dok su krivulje redoks-titracija koje se zasnivaju na složenoj redoks-reakciji asimetrične. Vidljiva je razlika u položaju točke ekvivalencije na okomitom dijelu krivulje, što ovisi o stehiometriji reakcije.<sup>1</sup>

## 1.2 REDOKS-INDIKATORI

Određivanje završne točke titracije kod redoks-titracija, kao i kod ostalih vrsta titracija, moguće je primjenom vizualnih indikatora. Osim primjenom vizualnih indikatora završnu točku redoks-titracija moguće je odrediti temeljem zabilježenih volumena titranta i pripadajućih potencijala elektrokemijskog članka koji se sastoji od Pt-elektrode i referentne elektrode.

U svrhu uočavanja završne točke redoks-titracije upotrebljavaju se tri vrste redoks-indikatora. To su titrant u funkciji indikatora, specifični indikatori i opći redoks-indikatori.

Titrant je u funkciji indikatora kada je jedan njegov oblik, oksidirani ili reducirani, izrazito obojen te se stoga može rabiti za određivanje završne točke titracije. Primjer takvog titranta je permanganat,  $MnO_4^-$ , koji je ružičaste boje, dok je njegov reducirani oblik u kiseloj sredini,  $Mn^{2+}$ , bezbojan. Upravo prva kap titranta nakon točke ekvivalencije boji otopinu ružičasto.

Specifični indikatori s oksidiranim ili reduciranim oblikom titranta ili analita grade obojene spojeve. Škrob spada u skupinu specifičnih redoks-indikatora. Polisaharid amiloza (koji sudjeluje u izgradnji škroba zajedno s amilopektinom) s jodom ( $I_3^-$ ) stvara produkt intenzivno modre boje.<sup>1,3</sup> Zbog biorazgradivosti škroba potrebno je koristiti njegovu svježu otopinu. Izvor pogreške kod redoks titracije može biti reduksijsko djelovanje glukoze koja se stvara hidrolizom škroba. Pri titraciji s škrobom kao indikatorom modro obojenje nastaje u točki ekvivalencije ako je  $I_3^-$  titrant, a nestaje ako je  $I_3^-$  analit. Tiocijanat ili rodanid,  $SCN^-$ , također spada u skupinu specifičnih redoks indikatora. Željezov(III) kation,  $Fe^{3+}$ , s tiocijanidom stvara crveno obojeni kompleks,  $Fe(SCN)^{2+}$ . Ukoliko je  $Fe^{3+}$  analit kod redoks-titracije, crvena boja će u točki ekvivalencije nestati.

Opći redoks-indikatori su najvažnija skupina redoks-indikatora. To su tvari čiji su oksidirani i reducirani oblik različito obojeni. Redoks-titraciju u kojoj sudjeluje opći redoks-indikator valja promatrati kao titraciju smjese u kojoj je prisutna mala količina indikatora, koja za promjenu svog oksidacijskog stanja troši zanemariv volumen titranta. Dodatkom titranta tijekom titracije mijenja se sastav otopine, a time i potencijal elektrokemijskog članka, odnosno indikatorske redoks-elektrode (katode).

Redoks-par indikatora može se prikazati polureakcijom:



Pojednostavljeno oksidirani i reducirani oblik indikatora prikazuju se bez naboja. Budući da dolazi do promjene oksidacijskog stanja, jedan od dvaju oblika, oksidirani ili reducirani, ne može biti neutralan.

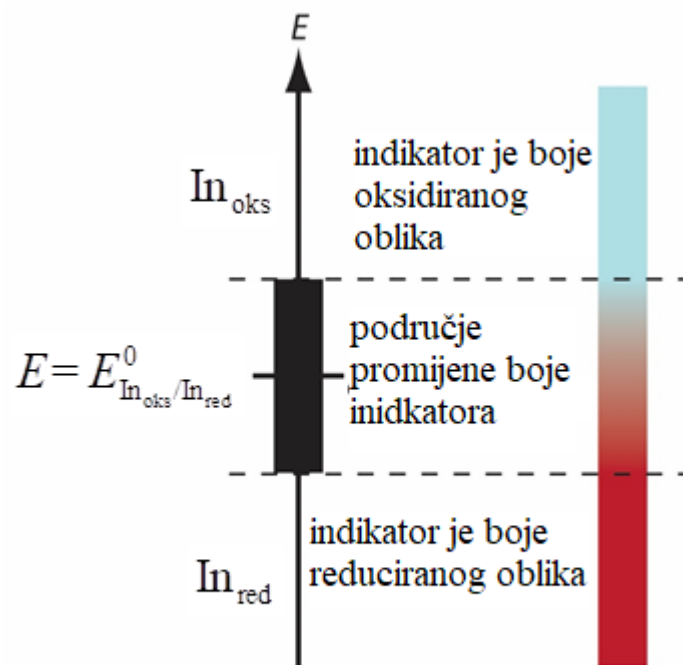
$$E = E^0 (\ln_{\text{oks}} / \ln_{\text{red}}) - \frac{0,0592}{z} \times \log \left[ \frac{\ln_{\text{red}}}{\ln_{\text{oks}}} \right] \quad (1.55.)$$

Područje potencijala u kojem je ostvarena promjena boje indikatora iskazuje se jednadžbom:

$$E = E_{\text{In}}^0 \pm \frac{0,0592}{z} \quad (1.56.)$$

Ljudsko oko zamjećuje promjenu boje reduciranog oblika u oksidirani oblik kada se omjer koncentracija  $[\ln_{\text{red}}]/[\ln_{\text{oks}}]$  promijeni od 10 na 0,1.

Dakle, opći indikatori postižu zamjetnu promjenu boje kada dodatak titranta uzrokuje promjenu potencijala od  $E_{\text{In}}^0 - 0,0592/z$  do  $E_{\text{In}}^0 + 0,0592/z$  što je ukupno  $0,118/z$ . Na područje promjene boje indikatora utječe broje elektrona ( $z$ ) koji sudjeluje u polureakciji indikatora. Što je broj elektrona koji sudjeluje u polureakciji indikatora veći, uže je područje potencijala kroz koje indikator mijenja boju. Tako na primjer kod indikatora s jednim prijelazom elektrona ( $z = 1$ ) područje potencijala u kojem indikator mijenja boju iznosi 0,118 V.

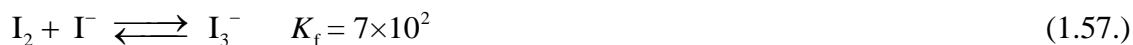


Slika 1.5. Odnos potencijala i boje indikatora<sup>2</sup>

Kod polureakcija indikatora u kojima sudjeluju hidronijevi ioni, pH-vrijednost reakcijske otopine utječe na formalni potencijal redoks-indikatora, a time i na područje potencijala kroz koje indikator mijenja boju. Kako bi se indikator mogao uspješno iskoristiti za određivanje završne točke titracije, područje potencijala unutar kojeg opći redoks-indikator mijenja boju mora se nalaziti u području infleksije titracijske krivulje. Reakcija redoks-indikatora mora biti brza i reverzibilna jer u protivnom promjena boje neće biti oštra te će uočavanje završne točke titracije biti onemogućeno.<sup>1</sup>

### 1.3 ODREĐIVANJE BAKROVIH(II) IONA

Određivanje bakrovih(II) iona temelji se na oksidaciji jodidnih iona bakrovim(II) ionima pri čemu se izlučuje ekvivalentna količina joda. Nastali jod se titrira standardnom otopinom tiosulfata. Molekule joda ( $I_2$ ) su slabo topljive u vodi ( $1,3 \times 10^{-3}$  mol L<sup>-1</sup> pri 20 °C), a topljivost joda se znatno povećava ako je u otopini prisutan jodid ( $I^-$ ).<sup>1</sup> Navedeno se može prikazati sljedećom reakcijom formiranja kompleksa i pripadajućom konstantom formiranja.



Dakle, u otopini u kojoj je prisutan molekularni jod ( $I_2$ ) i jodid ( $I^-$ ) nastaje topljivi kompleks, trijodidni anion,  $I_3^-$ .

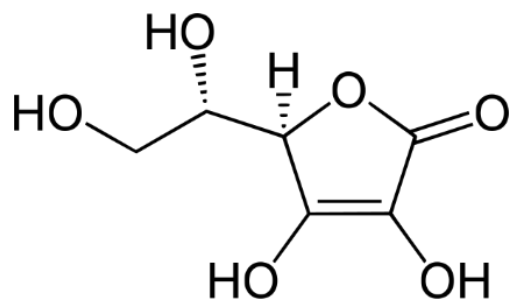


Natrijev tiosulfat ( $Na_2S_2O_3$ ) kao standardna otopina reducens, koji se inače primjenjuju u neizravnim metodama određivanja oksidirajućih analita, veoma je pogodan za titraciju nastalog joda ( $I_3^-$ ). Natrijev tiosulfat je sekundarni standard. Njegovim vaganjem i otapanjem nije moguće pripraviti otopinu točne koncentracije već približne, stoga ga je potrebno standardizirati odgovarajućom otopinom primarnog standarda kako bi se odredila točna koncentracija. Pri standardizaciji otopine tiosulfata mogu se koristiti

primarni standardi kao što su kalijev jodat, kalijev bromat, kalijev dikormat i elektrolitički bakar.

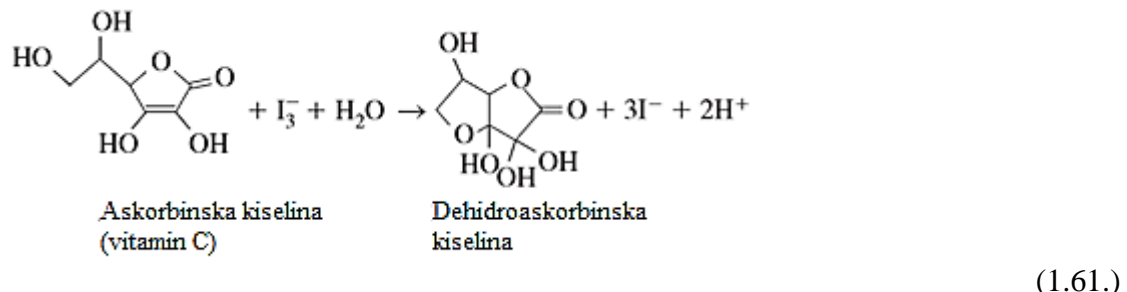
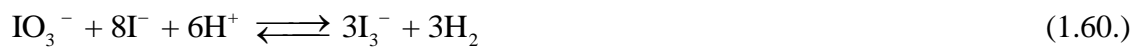
#### **1.4 ODREĐIVANJE KONCENTRACIJE ASKORBINSKE KISELINE U REALNIM UZORCIMA KORIŠTENJEM REDOKS-TITRACIJE: PLIVIT C TABLETE (500 mg)**

Askorbinska kiselina ili vitamin C, molekulske formule  $C_6H_8O_6$ , antiskorbutski je vitamin. Prema svojim fizikalnim i kemijskim svojstvima bijela je kristalična tvar, kisela okusa, lako topljiva u vodi te je blago reduksijsko sredstvo. Osjetljiva je na lužine i kisik te je nestabilna u vodenim otopinama, lako oksidira. Askorbinskom kiselinom obiluju svježe voće i povrće, a posebice limun, naranča, paprika, ružin šipak, crni ribiz, lisnato povrće, kupus, krumpir, paprika i dr. U mlijeku i životinjskim tkivima se nalazi malo vitamina C. Preporučene dnevne količine (RDA) za odraslu zdravu osobu iznose 75-90 mg dok se u terapiji koriste i znatno veće doze. Sintetski se dobiva od glukoze. Koristi se u medicini i ima važnu ulogu u metabolizmu. Njezin nedostatak u hrani uzrokuje bolest skorbut. Askorbinsku kiselinu prvi je izolirao A. Szent-Györgyi iz paprike 1928. godine.<sup>4,5</sup>



Slika 1.6. Struktura askorbinske kiseline<sup>5</sup>

Određivanje vitamina C se temelji na njegovim blagim reduksijskim svojstvima zbog čega on brzo reagira s trijodidnim anionom, jodom. Višak jodata se generira jodatom, što omogućava askorbinskoj kiselini da reagira. Suvišak joda se titrira otopinom tiosulfata.<sup>3</sup>



## **2 EKSPERIMENTALNI DIO**

### **2.1 POSTUPAK PRIPRAVE I STANDARDIZACIJE OTOPINE NATRIJEVOG TIOSULFATA OTOPINOM KALIJEVOG BROMATA**

Potreban pribor:

- odmjerna tirkvica od 1,0 L
- analitička vaga
- trbušaste pipeta od 5 mL i 20 mL
- Erlenmeyerova tirkvica od 300 mL
- bireta od 50 mL

Kemikalije:

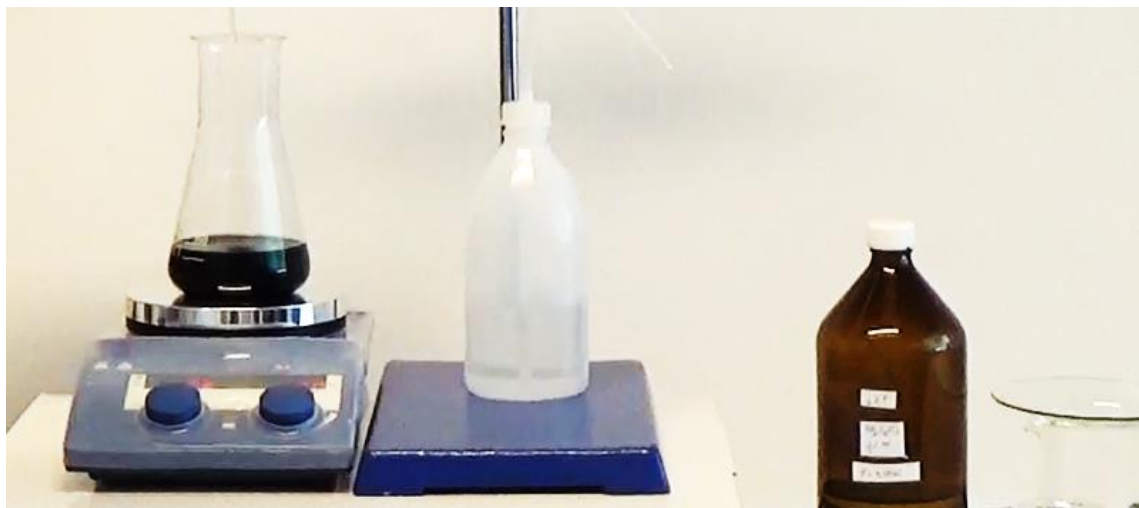
- natrijev tiosulfat pentahidrat ( $\text{Na}_2\text{S}_2\text{O}_3 \times 5 \text{ H}_2\text{O}$ )
- natrijev karbonat bezvodni ( $\text{Na}_2\text{CO}_3$ )
- kalijev bromat ( $\text{KBrO}_3$ )
- klorovodična kiselina ( $c(\text{HCl})= 4 \text{ mol L}^{-1}$ )
- škrob

Postupak priprave i standardizacije:

Za pripravu 1000 mL otopine natrijevog tiosulfata ( $c(\text{Na}_2\text{S}_2\text{O}_3)=0,1 \text{ mol L}^{-1}$ ) odvaže se otprilike 25 g  $\text{Na}_2\text{S}_2\text{O}_3 \times 5 \text{ H}_2\text{O}$ , otopi u prokuhanoj i ohlađenoj destiliranoj vodi u odmjernoj tirkvici od 1,0 L i doda 0,1 g bezvodnog natrijevog karbonata, te se tirkvica nadopuni destiliranom vodom do oznake. Ovako pripravljena otopina približne koncentracije ostavi se nekoliko dana kako bi se stabilizirala te se nakon toga pristupa standardizaciji iste.

Za standardizaciju otopine natrijevog tiosulfata koristi se otopina kalijevog bromata. Kristali kalijevog bromata se suše pri temperaturi od 120 °C do 150 °C. Nakon sušenja odvaže se točno 2,7836 g kalijevog bromata i otopi u odmjernoj tirkvici od 1,0 L destiliranom vodom. Zatim se pipetom uzme alikvot od 20,0 mL otopine kalijevog

bromata, prenese u Erlenmeyerovu tikvicu razrijedi s oko 150 mL destilirane vode, doda 2,00 g kalijevog jodida, 5 mL klorovodične kiseline i 2 mL svježe otopine škroba. Zatim se tako pripravljena otopina titrira otopinom natrijevog tiosulfata dok se ne izgubi modro obojenje. Titracija se radi u triplikatu.



Slika 2.1. Standardizacija tiosulfata - prije završne točke titracije

## 2.2 POSTUPAK ODREĐIVANJA BAKROVIH(II) IONA

Potreban pribor:

- bireta od 50 mL
- trbušasta pipeta od 5 mL i 20 mL
- Erlenmeyerova tikvica od 300 mL
- odmjerna tikvica od 100 mL

Kemikalije:

- natrijev tiosulfat ( $c(\text{Na}_2\text{S}_2\text{O}_3) = 0,0977 \text{ mol L}^{-1}$ )
- kalijev jodid (KI)
- octena kiselina ( $\text{CH}_3\text{CH}_2\text{COOH}$ )
- uzorak bakrovih(II) iona
- škrob

### Postupak određivanja:

Otopina bakrovih(II) iona razrijedi se do oznake u odmjernoj tikvici od 100 mL destiliranom vodom, pažljivo promiješa te se prenese alikvot od 20,0 mL trbušastom pipetom u Erlenmayerovu tikvicu. U otopinu uzorka se doda 1,5 g kalijevog jodida, 5,0 mL koncentrirane octene kiseline te se razrijedi destiliranom vodom do 100 mL. Sadržaj tikvice se mučka 5 minuta. Izlučeni jod se titrira otopinom natrijevog tiosulfata do slabo žute boje otopine, a potom se doda 2 mL otopine škroba te se nastavi titracija dok se modra boja ne izgubi, a suspenzija u tikvici ne poprimi žućkasto bijelu boju. Vrše se tri titracije, a u račun se uvrštava srednja vrijednost.



Slika 2.2. Određivanje bakrovih(II) iona - korištene kemikalije



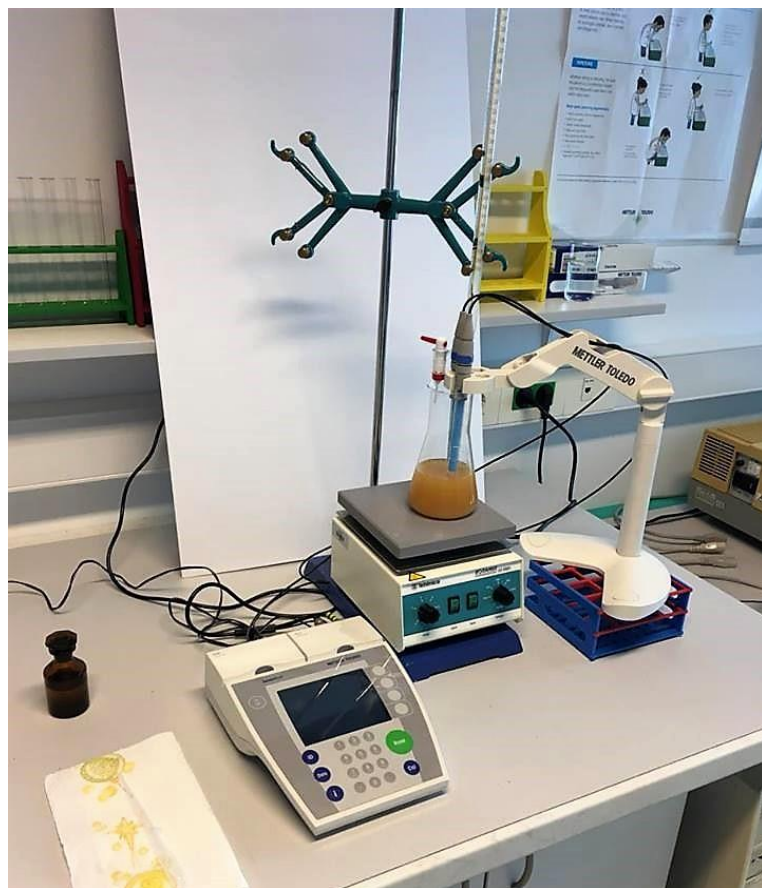
Slika 2.3. Određivanje bakrovih(II) iona - prije završne točke titracije

## 2.3 POSTUPAK ODREĐIVANJA BAKROVIH(II) IONA POTENCIOMETRIJSKI PRAĆENO

Postupak određivanja bakrovih(II) iona potenciometrijski praćeno vrši se kao i prethodna redoks-titracija uz vizualni indikator, ali uz istovremeno praćenje reakcije potenciometrijski pomoću milivoltmetra, referentne elektrode (Ag/AgCl elektrode) i redoks elektrode. Kao referentna elektroda korištena je Ag/AgCl elektroda marke Mettler Toledo InLab®301 Reference temperaturnog raspona od 0 °C do 100 °C. Referentni elektrolit ove referentne elektrode je kalijev klorid  $\{c(KCl) = 3 \text{ mol L}^{-1}\}$ . Kao redoks elektroda korištena je Mettler Toledo InLab®501 Redox elektroda temperaturnog raspona od 0 °C do 100 °C. Referentni elektrolit ove redoks elektrode je također kalijev klorid  $\{c(KCl) = 3 \text{ mol L}^{-1}\}$ .



Slika 2.4. Redoks elektroda i referentna Ag/AgCl elektroda



Slika 2.5. Prikaz aparature za potenciometrijsko praćenje redoks-titracije, određivanja bakrovih(II) iona

## 2.4 POSTUPAK STANDARDIZACIJE OTOPINE NATRIJEVOG TIOSULFATA OTOPINOM KALIJEVOG JODATA

Potreban pribor:

- bireta od 50 mL
- trbušaste pipete od 10 mL i 50 mL
- Erlenmeyerova tikvica od 300 mL
- odmjerna tikvica od 500 mL

Kemikalije:

- kalijev jodat ( $\text{KIO}_3$ )
- natrijev tiosulfat ( $c(\text{Na}_2\text{S}_2\text{O}_3) = 0,0977 \text{ mol L}^{-1}$ )

- kalijev jodid (KI)
- sumporna kiselina ( $c(\text{H}_2\text{SO}_4) = 0,5 \text{ mol L}^{-1}$ )

Postupak standardizacije:

Pripravi se otopina kalijevog jodata približne koncentracije  $0,01 \text{ mol L}^{-1}$  otapanjem približno 1 g krutog kalijevog jodata destiliranom vodom u odmernoj tikvici od 500 mL. Otpipetira se alikvot od 50,0 mL tako pripravljene otopine kalijevog jodata u Erlenmeyerovu tikvicu, doda se 2 g kalijevog jodida i 10 mL sumporne kiseline koncentracije  $0,5 \text{ mol L}^{-1}$ . Tako pripravljena otopina se odmah titrira otopinom natrijevog tiosulfata dok ne poprimi svjetliju boju. Tada se doda 2 mL škroba te se titracija nastavi do obezbojenja. Postupak se ponovi tri puta.



Slika 2.6. Standardizacija tiosulfata jodatom - kemikalije



Slika 2.7. Standardizacija tiosulfata jodatom - prije završne točke titracije

## 2.5 POSTUPAK ODREĐIVANJA ASKORBINSKE KISELINE U REALNOM UZORKU: PLIVIT C TABLETE (500 mg)

Potreban pribor:

- analitička vaga
- posudice za vaganje
- tarionik
- bireta od 50 mL
- trbušasta pipeta od 60 mL
- Erlenmeyerova tikvica od 300 mL

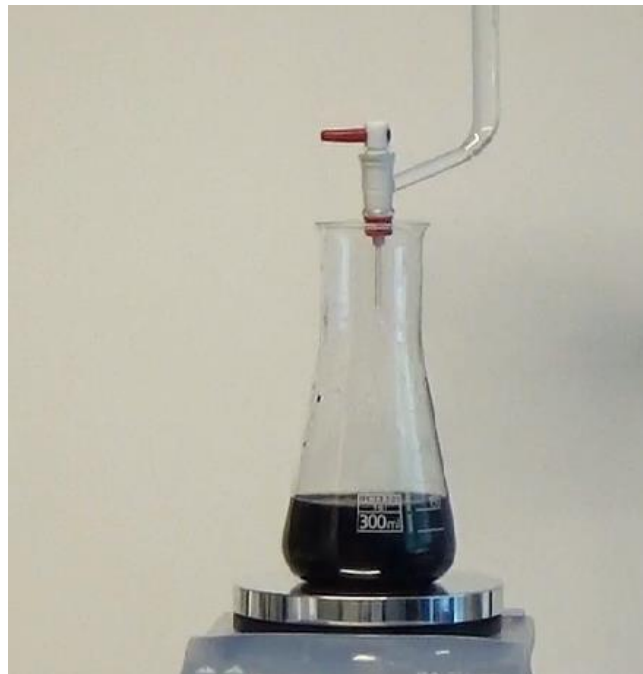
Kemikalije:

- Plivit C tablete (500 mg)
- sumporna kiselina ( $c(\text{H}_2\text{SO}_4) = 0,3 \text{ mol L}^{-1}$ )
- kalijev jodid (KI)

- kalijev jodat (standard;  $c(\text{KIO}_3) \approx 0,01 \text{ mol L}^{-1}$ )
- natrijev tiosulfat ( $c(\text{Na}_2\text{S}_2\text{O}_3) = 0,0977 \text{ mol L}^{-1}$ )
- škrob

Postupak određivanja:

Dvije tablete Plivita C se izvažu na analitičkoj vagi. Odredi se masa svake tablete, te srednja masa. Tablete se usitne u tarioniku te se u posudici za vaganje izvaže točno polovica srednje mase dviju tableta. Tako odvagana količina usitnjene tablete otopi se u sumpornoj kiselini ( $c(\text{H}_2\text{SO}_4) = 0,3 \text{ mol L}^{-1}$ ), doda se 2 g kalijevog jodata, 60 mL standardne otopine kalijevog jodata i 2 mL otopine škroba. Otopina se titrira otopinom natrijevog tiosulfata. Postupak se ponovi tri puta.



Slika 2.8. Određivanje askorbinske kiseline - prije završne točke titracije

### 3 REZULTATI I RASPRAVA

#### 3.1 PRORAČUN FAKTORA I KONCENTRACIJE STANDARDIZIRANE OTOPINE NATRIJEVOG TIOSULFATA

Svi sekundarni standardi trebaju na boci u kojoj se čuvaju imati naveden faktor (F) koji se izračunava prema sljedećoj formuli:

$$F = \frac{c_{\text{stvarna}}}{c_{\text{nazivna}}} \quad (3.1.)$$

$c_{\text{stvarna}}$  – koncentracija otopine koja se dobije računski standardizacijom otopine

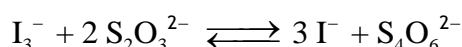
$c_{\text{nazivna}}$  – koncentracija otopine koja se dobije prilikom priprave otopine

Koncentracija otopine natrijevog tiosulfata koja se dobije prilikom priprave otopine

( $c_{\text{nazivna}}$ ) iznosi  $0,1 \text{ mol L}^{-1}$ .

Potreбно је израчунати фактор како би се уз помоћ njega дошло до стварне koncentracije ( $c_{\text{stvarna}}$ ).

Standardizacija se temelji на sljedećim reakcijama:



Bromat oksidира jodid u jod te se suvišak joda titrira otopinom natrijevog tiosulfata.

Iz navedenih ravnoteža vidljivi су stehiometrijski odnosi:

$$n(\text{BrO}_3^-) : n(\text{I}_3^-) = 1:3 \quad (3.3.)$$

$$n(\text{BrO}_3^-) = \frac{1}{3} \times n(\text{I}_3^-)$$

$$n(\text{S}_2\text{O}_3^{2-}) : n(\text{I}_3^-) = 2:1 \quad (3.4.)$$

$$n(\text{I}_3^-) = \frac{1}{2} \times n(\text{S}_2\text{O}_3^{2-})$$

$$n(\text{BrO}_3^-) = \frac{1}{3} \times \frac{1}{2} \times n(\text{S}_2\text{O}_3^{2-}) \quad (3.5.)$$

$$n(\text{BrO}_3^-) = \frac{1}{6} \times n(\text{S}_2\text{O}_3^{2-})$$

Budući da je množina tvari jednaka umnošku njene koncentracije i volumena slijedi:

$$\begin{aligned} c(\text{KBrO}_3) \times V(\text{KBrO}_3) &= \frac{1}{6} \times c(\text{Na}_2\text{S}_2\text{O}_3) \times V(\text{Na}_2\text{S}_2\text{O}_3) \times F(\text{Na}_2\text{S}_2\text{O}_3) \\ F(\text{Na}_2\text{S}_2\text{O}_3) &= 6 \times \frac{V(\text{KBrO}_3) \times c(\text{KBrO}_3)}{V(\text{Na}_2\text{S}_2\text{O}_3) \times c_{\text{nazivna}}(\text{Na}_2\text{S}_2\text{O}_3)} \end{aligned} \quad (3.6.)$$

Iz provedenog eksperimenta dostupni su sljedeći podaci:

$$c(\text{KBrO}_3) = \frac{n(\text{KBrO}_3)}{M(\text{KBrO}_3) \times V} = \frac{2,7839 \text{ g}}{166,999 \text{ g mol}^{-1} \times 1,0 \text{ L}} = 0,0167 \text{ mol L}^{-1}$$

$$V(\text{KBrO}_3) = 20 \text{ mL}$$

$$c_{\text{nazivna}}(\text{Na}_2\text{S}_2\text{O}_3) = 0,1 \text{ mol L}^{-1}$$

$$V_{\text{srednji}}(\text{Na}_2\text{S}_2\text{O}_3) = 20,1 \text{ mL}$$

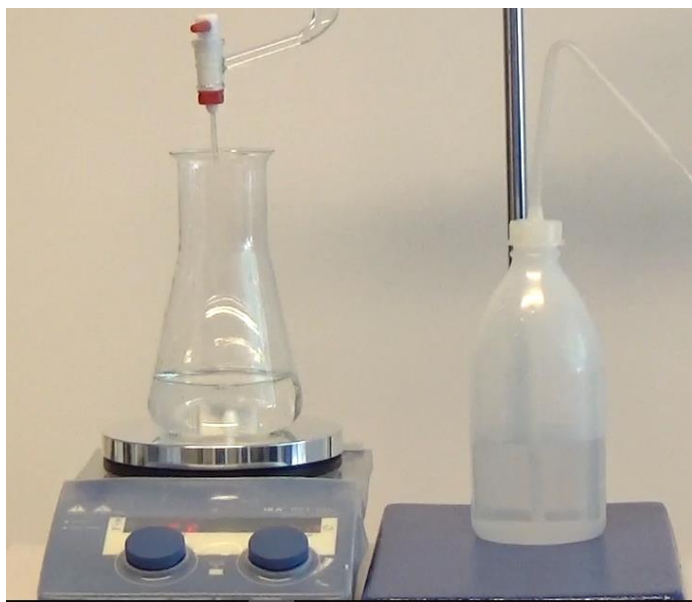
Podaci se uvrste u jednadžbu za izračunavanje faktora:

$$F(\text{Na}_2\text{S}_2\text{O}_3) = 6 \times \frac{V(\text{KBrO}_3) \times c(\text{KBrO}_3)}{V(\text{Na}_2\text{S}_2\text{O}_3) \times c_{\text{nazivna}}(\text{Na}_2\text{S}_2\text{O}_3)} = 6 \times \frac{20 \text{ mL} \times 0,0167 \text{ mol L}^{-1}}{20,1 \text{ mL} \times 0,1 \text{ mol L}^{-1}} = 0,997$$

Nadalje, iz izračunatog faktora moguće je izračunavanje stvarne koncentracije otopine natrijevog tiosulfata:

$$c_{\text{stvarna}}(\text{Na}_2\text{S}_2\text{O}_3) = F(\text{Na}_2\text{S}_2\text{O}_3) \times c_{\text{nazivna}}(\text{Na}_2\text{S}_2\text{O}_3) \quad (3.7.)$$

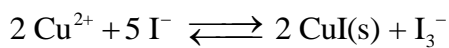
$$c_{\text{stvarna}}(\text{Na}_2\text{S}_2\text{O}_3) = 0,997 \times 0,1 \text{ mol L}^{-1} = 0,0977 \text{ mol L}^{-1}$$



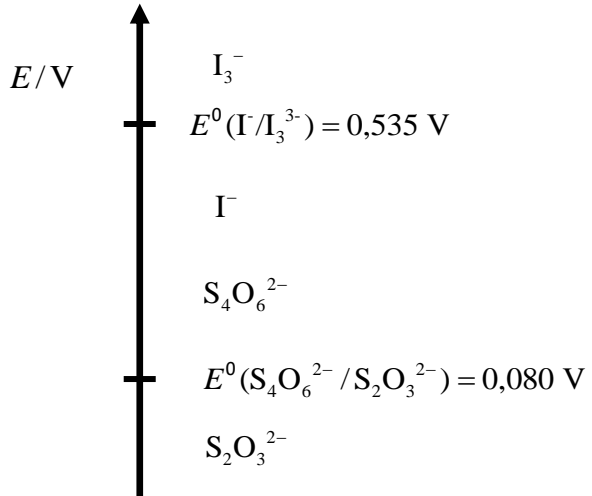
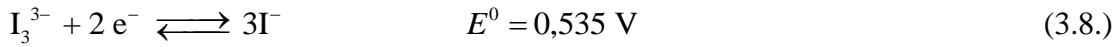
Slika 3.1. Standardizacija tiosulfata bromatom - u završnoj točki titracije

### **3.2 TEORIJSKE KRIVULJE TITRACIJE ODREĐIVANJA BAKROVIH(II) IONA, USPOREDBA ZAVRŠNE TOČKE TITRACIJE ODREĐENE VIZUALNIM INDIKATOROM I TOČKE EKVIVALENCIJE**

Određivanje bakrovih(II) iona temelji se na sljedećim reakcijama:



Koncentracija izlučenog trijodida ekvivalentna je koncentraciji bakrovih(II) iona. Promatra se titracija 20 mL otopine bakrovih(II) iona  $\{c(\text{Cu}^{2+})=0,0446 \text{ mol L}^{-1}\}$  uz izlučivanje suviška trijodida koji se titrira otopinom natrijevog tiosulfata  $\{c_{\text{stvarna}}(\text{Na}_2\text{S}_2\text{O}_3)=0,0977 \text{ mol L}^{-1}\}$  koristeći u teoretskom razmatranju Pt-elektrodu kao indikatorsku elektrodu i Ag/AgCl elektrodu kao referentnu elektrodu za praćenje titracije i određivanje završne točke titracije. Pripadajuće polureakcije i standardni potencijali istih dati su izrazima:



Uravnotežena redoks-reakcija glasi:



$$y = 1 \quad x = 2$$

Promotri li se prijelaz elektrona u polureakcijama vidljivo je da je  $a = b = z = 2$ , odnosno da prijelaz elektrona ne prati stehiometriju reakcije, zbog složenih polureakcija. Stoga su uvedeni  $x$  i  $y$  koji označavaju stehiometrijske faktore u uravnoteženoj redoks-reakciji.

Potencijal članka moguće je izraziti na dva načina:

1. Prije točke ekvivalencije

$$E_{\text{članka}} = \left\{ E_{\text{A}}^0 - \frac{0,0592}{a} \times \log \frac{[\text{A}_{\text{red}}]}{[\text{A}_{\text{oks}}]} \right\} - E_{\text{RE}}$$

$$E_{\text{članka}} = \left\{ E_{\text{A}}^0 (\text{I}^- / \text{I}_3^-) - \frac{0,0592}{2} \times \log \frac{[\text{I}^-]^3}{[\text{I}_3^-]} \right\} - E_{\text{Ag/AgCl}}^0$$

$$E_{\text{članka}} = \left\{ 0,535 - \frac{0,0592}{2} \times \log \frac{[I^-]^3}{[I_3^-]} \right\} - 0,197$$

$$E_{\text{članka}} = 0,338 - \frac{0,0592}{2} \times \log \frac{[I^-]^3}{[I_3^-]}$$

2. Nakon točke ekvivalencije

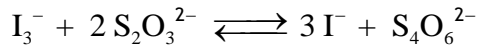
$$E_{\text{članka}} = \left\{ E_T^0 - \frac{0,0592}{b} \times \log \frac{[T_{\text{red}}]}{[T_{\text{oks}}]} \right\} - E_{\text{RE}}$$

$$E_{\text{članka}} = \left\{ E^0(S_4O_6^{2-}/S_2O_3^{2-}) - \frac{0,0592}{2} \times \log \frac{[S_2O_3^{2-}]^2}{[S_4O_6^{2-}]} \right\} - E_{\text{Ag/AgCl}}^0$$

$$E_{\text{članka}} = \left\{ 0,080 - \frac{0,0592}{2} \times \log \frac{[S_2O_3^{2-}]^2}{[S_4O_6^{2-}]} \right\} - 0,197$$

$$E_{\text{članka}} = -0,117 - \frac{0,0592}{2} \times \log \frac{[S_2O_3^{2-}]^2}{[S_4O_6^{2-}]}$$

Kako bi se procijenilo zadovoljava li razmatrana redoks-reakcija 99,9 % potpunost potrebno je izračunati potrebnu konstantu redoks-reakcije te je usporediti s ostvarenom konstantom.



$$y = 1 \quad x = 2$$

$$K = \frac{[I^-]^3 \times [S_4O_6^{2-}]}{[I_3^-] \times [S_2O_3^{2-}]^2} \quad (3.11.)$$

$$\log K_{\text{redoks}}(\text{ostvarena}) = \frac{z \times (E_A^0 - E_T^0)}{0,0592}$$

$$\log K_{\text{redoks}}(\text{ostvarena}) = \frac{2 \times (0,535 - 0,080)}{0,0592} = 15,3716$$

$$K_{\text{redoks}}(\text{ostvarena}) = 2,3442 \times 10^{15}$$

Početak:  $c$        $1/2c$



Na kraju:  $0,001c$      $1/2 \times 0,001c$        $1/3 \times 0,999c$      $0,999c$

$$K_{\text{redoks}}(\text{potrebna}) = \frac{[\text{I}^-]^3 \times [\text{S}_4\text{O}_6^{2-}]}{[\text{I}_3^-] \times [\text{S}_2\text{O}_3^{2-}]^2}$$

$$K_{\text{redoks}}(\text{potrebna}) = \frac{(1/3 \times 0,999c)^3 \times (0,999c)}{(0,001c) \times (1/2 \times 0,001c)^2}$$

$$K_{\text{redoks}}(\text{potrebna}) = \frac{(0,333)^3 \times (0,999c)}{(0,001c) \times (0,0005)^2} = \frac{0,0369 \times c}{2,5 \times 10^{-10}} = \frac{0,0369 \times 0,0446}{2,5 \times 10^{-10}} = 6,58 \times 10^6$$

Ostvarena konstanta redoks-reakcije je veća od potrebne konstante iz čega se da zaključiti da je zadovoljena 99,9 % potpunost reakcije.

Teorijski volumen točke ekvivalencije izračunava se na sljedeći način:

$$V_{\text{T.E.}} = \frac{V_A \times c_A}{c_T} \times \frac{a}{b} = \frac{20 \text{ mL} \times 0,0446 \text{ mmol mL}^{-1}}{0,0977 \text{ mmol mL}^{-1}} \times \frac{2}{2} = 9,13 \text{ mL}$$

Nakon što je izračunat volumen u točki ekvivalencije može se pristupiti teorijskom izračunu potencijala članka prije, u točki ekvivalencije te nakon točke ekvivalencije.

Za primjer izračuna potencijala prije točke ekvivalencije uzet je volumen titranta od 5 mL.

$$E_{\text{članka}} = 0,338 - \frac{0,0592}{2} \times \log \frac{[\text{I}^-]^3}{[\text{I}_3^-]} \quad (3.12.)$$

$$n(\text{I}^-) : n(\text{S}_2\text{O}_3^{2-}) = 3:2 \quad (3.13.)$$

$$n(\text{I}^-) = \frac{3}{2} \times n(\text{S}_2\text{O}_3^{2-})$$

$$n(I_3^-) : n(S_2O_3^{2-}) = 1:2 \quad (3.14.)$$

$$n(I_3^-) = \frac{1}{2} \times n(S_2O_3^{2-})$$

$$\frac{[I^-]^3}{[I_3^-]} = \frac{n(A_{red})}{n(A_{oks})} = \frac{\frac{3}{2}(V \times c_T)^3}{\frac{1}{2}(V_{T.E.} - V) \times c_T} = \frac{\frac{27}{4}V^3 \times c_T^2}{V_{T.E.} - V} \quad (3.15.)$$

$$E_{članka} = 0,338 - \frac{0,0592}{2} \times \log \frac{\frac{27}{4}V^3 \times c_T^2}{V_{T.E.} - V} \quad (3.16.)$$

$$E_{članka} = 0,338 - \frac{0,0592}{2} \times \log \frac{\frac{27}{4}5^3 \times 0,0977^2}{9,13 - 5} = 0,329 \text{ V}$$

Potencijal članka u točki ekvivalencije računa se na sljedeći način:

$$E_{članka} = \left\{ \frac{a \times E_A^0 + b \times E_T^0}{a + b} \right\} - E_{RE} \quad (3.17.)$$

$$E_{članka} = \left\{ \frac{2 \times 0,535 + 2 \times 0,080}{2+2} \right\} - 0,197 = \left\{ \frac{2 \times (0,535 + 0,080)}{4} \right\} - 0,197 = 0,111 \text{ V}$$

Na koncu, za primjer izračuna potencijala članka poslije točke ekvivalencije, uzet je volumen titranta od 10,08 mL.

$$E_{članka} = -0,117 - 0,0592 \times \log \frac{[S_2O_3^{2-}]^2}{[S_4O_6^{2-}]} \quad (3.18.)$$

$$n(S_2O_3^{2-}) : n(S_4O_6^{2-}) = 2:1 \quad (3.19.)$$

$$n(S_4O_6^{2-}) = \frac{1}{2} \times n(S_2O_3^{2-})$$

$$\frac{[S_2O_3^{2-}]^2}{[S_4O_6^{2-}]} = \frac{n(T_{red})}{n(T_{oks})} = \frac{(V - V_{T.E.})^2 \times c_T^2}{\frac{1}{2} \times V_{T.E.} \times c_T} = \frac{(V - V_{T.E.})^2 \times c_T}{\frac{1}{2} \times V_{T.E.}} \quad (3.20.)$$

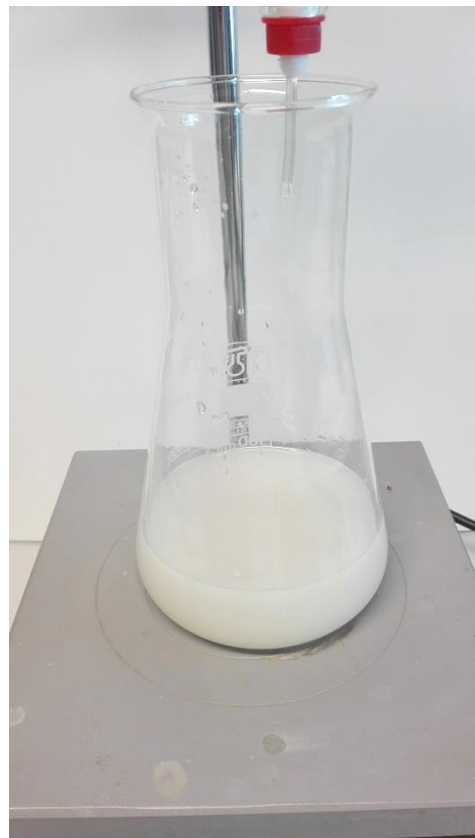
$$E_{\text{članka}} = -0,117 - \frac{0,0592}{2} \times \log \frac{2 \times (V - V_{\text{T.E.}})^2 \times c_{\text{T}}}{V_{\text{T.E.}}} \quad (3.21.)$$

$$E_{\text{članka}} = -0,117 - \frac{0,0592}{2} \times \log \frac{2 \times (10,08 - 9,13)^2 \times 0,0977}{9,13} = -0,0663 \text{ V}$$

Korištenjem vizualnog indikatora, škroba, određeni su sljedeći volumeni završne točke titracije:

$$\left. \begin{array}{l} V_1 = 9,10 \text{ mL} \\ V_1 = 9,15 \text{ mL} \\ V_1 = 9,10 \text{ mL} \end{array} \right\} \quad V_{\text{srednji}} = \frac{V_1 + V_2 + V_3}{3} = \frac{(9,10 + 9,10 + 9,15) \text{ mL}}{3} = 9,12 \text{ mL}$$

Titracijom je potvrđeno da teorijski volumen titranta u točki ekvivalencije uz malu pogrešku odgovara volumenu titranta u završnoj točki titracije utvrđenoj primjenom vizualnog indikatora.



Slika 3.2. Određivanje bakrovih(II) iona - u završnoj točki titracije

Poznavajući volumen točke ekvivalencije i volumen titranta u završnoj točki titracije moguće je odrediti relativnu pogrešku volumetrijskog određivanja:

$$\text{Relativna pogreška} = \left| \frac{V_{\text{T.E.}} - V_{\text{Z.T.}}}{V_{\text{T.E.}}} \right| \times 100 \% \quad (3.22.)$$

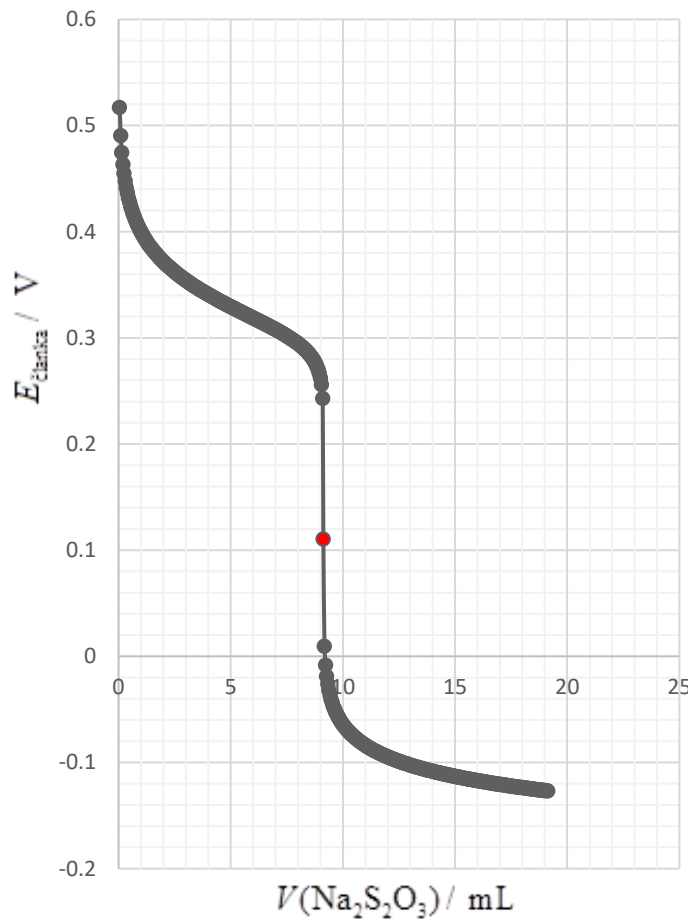
$$\text{Relativna pogreška} = \left| \frac{9,13 - 9,12}{9,13} \right| \times 100 \% = 0,11 \%$$

Relativna pogreška volumetrijskog određivanja iznosi 0,11 %.

$c_A =$	0,0446 mol L <sup>-1</sup>	$\log K_{\text{metaka}} (\text{ostvarena}) =$	1,54E+01		
$V_A =$	20,00 mL				
$c_1 =$	0,0977 mol L <sup>-1</sup>	$K_{\text{metaka}} (\text{ostvarena}) =$	2,35E+15		
$E_A^{\circ} =$	0,535 V				
$E_T^{\circ} =$	0,080 V	$K_{\text{metaka}} (\text{potrebna}) =$	6,58E+06		
$a =$	2,00				
$b =$	2,00				
$E_{\text{RE}} =$	0,197 V				
Proračun volumena točke ekvivalencije:					
$V_{\text{t.e.}} =$	9,13 mL				
prije T.E.	u T.E.			nakon T.E.	
$V / \text{mL}$	$E_{\text{časka}} / \text{V}$	$V / \text{mL}$	$E_{\text{časka}} (\text{V})$	$V / \text{mL}$	$E_{\text{časka}} / \text{V}$
		9,13	0,111	9,63	-0,050
0,50	0,428			10,13	-0,068
1,00	0,400			10,63	-0,078
1,50	0,384			11,13	-0,085
2,00	0,372			11,63	-0,091
2,50	0,362			12,13	-0,096
3,00	0,354			12,63	-0,100
3,50	0,347			13,13	-0,103
4,00	0,341			13,63	-0,106
4,50	0,335			14,13	-0,109
5,00	0,329			14,63	-0,111
5,50	0,324			15,13	-0,114
6,00	0,319			15,63	-0,116
6,50	0,313			16,13	-0,118
7,00	0,308			16,63	-0,119
7,50	0,302			17,13	-0,121
8,00	0,295			17,63	-0,123
8,50	0,285			18,13	-0,124
9,00	0,262			18,63	-0,125
				19,13	-0,127

Slika 3.3. Određivanje bakrovih(II) iona - Excel proračun (korak 0,5 mL)

### Teorijska krivulja titracije određivanja bakrovih(II) iona



Slika 3.4. Određivanje bakrovih(II) iona - teorijska krivulja titracije

Napomena: Excel proračun teorijske krivulje titracije s korakom od 0,05 mL (što odgovara jednoj kapi kod klasične titracije) prema kojem je rađena i krivulja priložen je u digitalnom dijelu završnog rada kao Prilog 1.

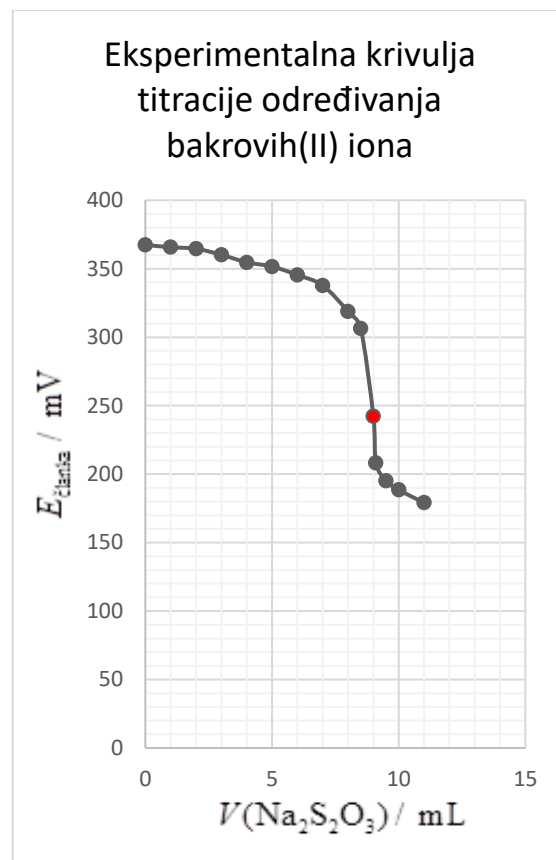
### **3.3 REZULTATI POTENCIOMETRIJSKOG PRAĆENJA ODREĐIVANJA BAKROVIH(II) IONA**

Potenciometrijskim praćenjem redoks-titracije određivanja bakrovih(II) iona dobiveni su sljedeći rezultati:

Tablica 1. Eksperimentalne vrijednosti potencijala članka potenciometrijski praćenog određivanja bakrovih(II) iona

$V(\text{Na}_2\text{S}_2\text{O}_3)$ / mL	$E_{\text{članka}}$ / mV
0,0	367,4
1,0	365,7
2,0	364,6
3,0	360,2
4,0	354,7
5,0	351,6
6,0	345,5
7,0	337,8
8,0	318,8
8,5	306,5
9,0	242,2
9,1	208,3
9,5	195,1
10,0	188,5
11,0	179,2

Vidljiva su odstupanja od teorijski utvrđenih potencijala članka, konkretno u točki ekvivalencije određen je teorijski potencijal članka od 111 mV dok je eksperimentalno izmjereno 208,3 mV. Razlika postoji zbog konstanti i temperturnih uvjeta, ali utvrđen je odgovarajući skok u području točke ekvivalencije kao i kod teorijskog razmatranja.



Slika 3.5. Određivanje bakrovih(II) iona - eksperimentalna krivulja titracije

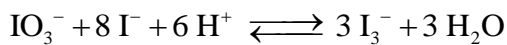


Slika 3.6. Prikaz aparature za potenciometrijsko praćenje redoks-titracije, određivanja  
bakrovih(II) iona u završnoj točki titracije

### 3.4 PRORAČUN KONCENTRACIJE ASKORBINSKE KISELINE U REALNOM UZORKU: PLIVIT C TABLETE (500 mg)

Kod određivanja askorbinske kiseline u realnom uzorku Plivit C tablete prethodno je izvršena standardizacija titranta, natrijevog tiosulfata, otopinom primarnog standarda kalijevoj jodata.

Standardizacija se temelji na sljedećim reakcijama:



Iz navedenih ranoteža vidljiv je stehiometrijski odnos:

$$n(\text{IO}_3^-) : n(\text{I}_3^-) = 1 : 3 \quad (3.23.)$$

$$n(\text{IO}_3^-) = \frac{1}{3} \times n(\text{I}_3^-)$$

$$n(\text{S}_2\text{O}_3^{2-}) : n(\text{I}_3^-) = 2 : 1 \quad (3.24.)$$

$$n(\text{I}_3^-) = \frac{1}{2} \times n(\text{S}_2\text{O}_3^{2-})$$

$$n(\text{IO}_3^-) = \frac{1}{6} \times n(\text{S}_2\text{O}_3^{2-}) \quad (3.25.)$$

Budući da je množina tvari jednaka umnošku njene koncentracije i volumena slijedi:

$$c(\text{KIO}_3) \times V(\text{KIO}_3) = \frac{1}{6} \times c(\text{Na}_2\text{S}_2\text{O}_3) \times V(\text{Na}_2\text{S}_2\text{O}_3) \times F(\text{Na}_2\text{S}_2\text{O}_3)$$

$$F(\text{Na}_2\text{S}_2\text{O}_3) = 6 \times \frac{V(\text{KIO}_3) \times c(\text{KIO}_3)}{V(\text{Na}_2\text{S}_2\text{O}_3) \times c_{\text{nazivna}}(\text{Na}_2\text{S}_2\text{O}_3)} \quad (3.26.)$$

Iz provedenog eksperimenta dostupni su sljedeći podaci:

$$c(\text{KIO}_3) = \frac{m(\text{KBrO}_3)}{M(\text{KBrO}_3) \times V} = \frac{1 \text{ g}}{214,001 \text{ g mol}^{-1} \times 0,5 \text{ L}} = 9,35 \times 10^{-3} \text{ mol L}^{-1}$$

$$V(\text{KIO}_3) = 50 \text{ mL}$$

$$c_{\text{nazivna}}(\text{Na}_2\text{S}_2\text{O}_3) = 0,1 \text{ mol L}^{-1}$$

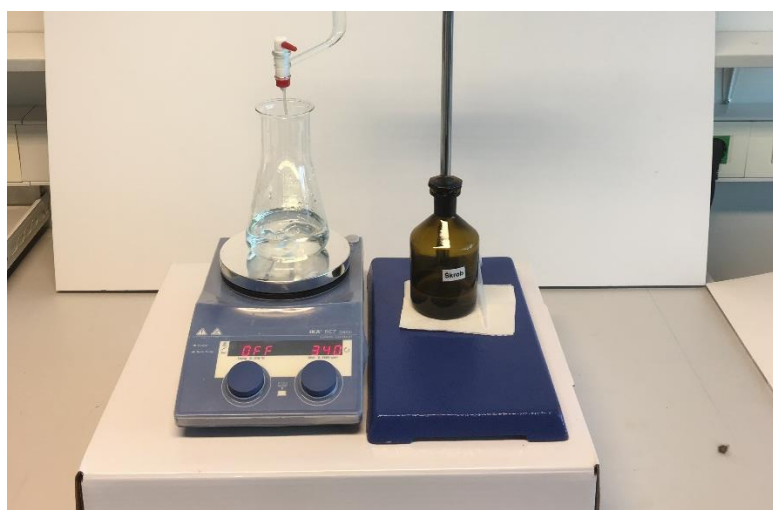
Podaci se uvrste u jednadžbu za faktor:

$$F(\text{Na}_2\text{S}_2\text{O}_3) = 6 \times \frac{V(\text{KIO}_3) \times c(\text{KIO}_3)}{V(\text{Na}_2\text{S}_2\text{O}_3) \times c_{\text{nazivna}}(\text{Na}_2\text{S}_2\text{O}_3)} = 6 \times \frac{50 \text{ mL} \times 9,35 \times 10^{-3} \text{ mol L}^{-1}}{28,15 \text{ mL} \times 0,1 \text{ mol L}^{-1}} = 0,996$$

Nadalje, iz izračunatog faktora moguće je izračunavanje stvarne koncentracije otopine natrijevog tiosulfata:

$$c_{\text{stvarna}}(\text{Na}_2\text{S}_2\text{O}_3) = F(\text{Na}_2\text{S}_2\text{O}_3) \times c_{\text{nazivna}}(\text{Na}_2\text{S}_2\text{O}_3) \quad (3.27.)$$

$$c_{\text{stvarna}}(\text{Na}_2\text{S}_2\text{O}_3) = 0,996 \times 0,1 \text{ mol L}^{-1} = 0,0996 \text{ mol L}^{-1}$$



Slika 3.7. Standardizacija tiosulfata jodatom - u završnoj točki titracije

Kada je utvrđena stvarna koncentracija otopine tiosulfata iz utvrđenih volumena završne točke titracije može se odrediti koncentracija vitamina C u Plavit C tabletama.

Prema deklaraciji Plavit C tableta:

1 tableta → 500 mg vitamina C

$\frac{1}{2}$  tablete → 250 mg vitamina C

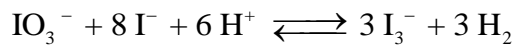
Eksperimentalno su utvrđeni sljedeći volumeni završne točke titracije:

$$\left. \begin{array}{l} V_1 = 5,30 \text{ mL} \\ V_2 = 5,20 \text{ mL} \\ V_3 = 5,30 \text{ mL} \end{array} \right\} \quad V_{\text{srednji}} = \frac{V_1 + V_2 + V_3}{3} = \frac{(5,20 + 5,30 + 5,30) \text{ mL}}{3} = 5,26 \text{ mL}$$

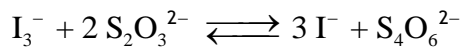
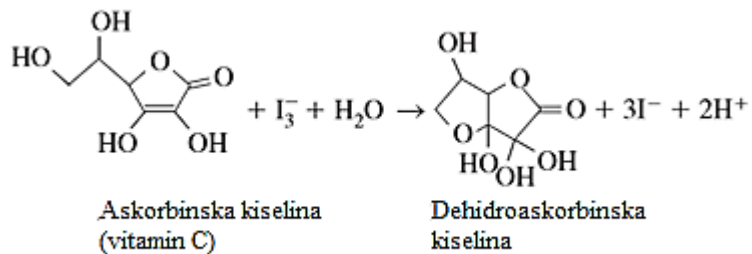


Slika 3.8. Određivanje askorbinske kiseline - nakon završne točke titracije

Postupak određivanja temelji se na sljedećim reakcijama uz pomoć kojih se može izraziti množina joda utrošena za oksidaciju askorbinske kiseline u dehidroaskorbinsku kiselinu.



$$n(\text{I}_3^-)_{\text{ukupna}} = 3 \times n(\text{IO}_3^-) \quad (3.28.)$$



$$n(\text{I}_3^-)_{\text{ukupna}} = n(\text{I}_3^-)_{\text{vitamin C}} + n(\text{I}_3^-)_{\text{S}_2\text{O}_3^{2-}} \quad (3.29.)$$

$$n(\text{vitamin C}) = n(\text{I}_3^-)_{\text{vitamin C}} \quad (3.30.)$$

Poznavanjem sljedećih veličina moguće je izračunati koncentraciju askorbinske kiseline (A.A.) u uzorku, tableti.

$$V(\text{KIO}_3) = 60 \text{ mL}$$

$$c(\text{KIO}_3) = 0,009345 \text{ mmol mL}^{-1}$$

$$c_{\text{stvarna}}(\text{Na}_2\text{S}_2\text{O}_3) = 0,0996 \text{ mmol mL}^{-1}$$

$$V(\text{askorbinske kiseline}) = 60 \text{ mL}$$

$$V_{\text{srednji}}(\text{Na}_2\text{S}_2\text{O}_3) = 5,26 \text{ mL}$$

$$n(\text{I}_3^-)_{\text{ukupna}} = 3 \times n(\text{IO}_3^-) = 3 \times c(\text{IO}_3^-) \times V(\text{IO}_3^-) = 3 \times 0,009345 \text{ mmol mL}^{-1} \times 60 \text{ mL} = 1,6821 \text{ mmol}$$

$$n(\text{I}_3^-)_{\text{S}_2\text{O}_3^{2-}} = \frac{1}{2} \times n(\text{S}_2\text{O}_3^{2-}) = \frac{1}{2} \times c(\text{S}_2\text{O}_3^{2-}) \times V_{\text{srednji}}(\text{S}_2\text{O}_3^{2-}) \quad (3.31.)$$

$$n(\text{I}_3^-)_{\text{S}_2\text{O}_3^{2-}} = \frac{1}{2} \times 0,0996 \text{ mmol mL}^{-1} \times 5,26 \text{ L} = 0,2619 \text{ mmol}$$

$$n(\text{I}_3^-)_{\text{A.A.}} = n(\text{I}_3^-)_{\text{ukupna}} - n(\text{I}_3^-)_{\text{S}_2\text{O}_3^{2-}} \quad (3.32.)$$

$$n(\text{I}_3^-)_{\text{A.A.}} = (1,6821 - 0,2619) \text{ mmol} = 1,4202 \text{ mmol}$$

$$n(\text{A.A.}) = n(\text{I}_3^-)_{\text{A.A.}}$$

$$c(\text{A.A.}) = \frac{n(\text{A.A.})}{V} \quad (3.33.)$$

$$c(\text{A.A.}) = \frac{1,4202 \text{ mmol}}{120 \text{ mL}} = 0,011835 \text{ mmol mL}^{-1}$$

$$c(\text{A.A.}) = \frac{n(\text{A.A.})}{V} = \frac{\frac{m(\text{A.A.})}{M(\text{A.A.})}}{V} = \frac{m(\text{A.A.})}{V \times M(\text{A.A.})} \quad (3.34.)$$

$$m(\text{A.A.}) = c(\text{A.A.}) \times V \times M(\text{A.A.}) \quad (3.35.)$$

$$m(\text{A.A.}) = 0,011835 \text{ mmol mL}^{-1} \times 120 \text{ mL} \times 176,12 \text{ mg mmol}^{-1} = 250,1256 \text{ mg}$$

Dakle, eksperimentalno je utvrđeno da masa askorbinske kiseline u polovini jedne tablete iznosi 250,1256 mg dok je na deklaraciji napisano da 1 tableta sadrži 500 mg te je stoga u  $\frac{1}{2}$  tablete 250 mg. Tvornički je u tabletama masa askorbinske kiseline uobičajeno nešto veća zbog oksidacije iste tijekom vremena.

Poznavajući pravu ili očekivanu masu askorbinske kiseline u  $\frac{1}{2}$  tablete i eksperimentalno određenu masu moguće je odrediti relativnu pogrešku određivanja.

$$\text{Relativna pogreška} = \left| \frac{m(\text{A.A.})_{\text{stvarna}} - m(\text{A.A.})_{\text{exp}}}{m(\text{A.A.})_{\text{stvarna}}} \right| \times 100 \% \quad (3.36.)$$

$$\text{Relativna pogreška} = \left| \frac{250,1256 - 250}{250} \right| \times 100 \% = 0,05 \% \quad (3.37.)$$

Relativna pogreška ovog određivanja iznosi 0,05 %.

## **4 ZAKLJUČAK**

- Završna točka titracije određena korištenjem vizualnog indikatora, škroba, pri određivanju bakrovih(II) iona posrednom redoks-titracijom približno je jednaka teorijski izračunatoj točki ekvivalencije. Volumen titranta, natrijevog tiosulfata, u završnoj točki titracije iznosi 9,12 mL, dok je teorijski volumen točke ekvivalencije 9,13 mL. Relativna pogreška volumetrijskog određivanja iznosi 0,11 %.
- Koncentracija askorbinske kiseline u realnom uzorku, polovini Plivit C tablete (500 mg), uspješno je određena te iznosi 250,1256 mg što je 0,1256 mg više nego što bi u jednoj polovini tablete trebalo biti prema deklaraciji. Relativna pogreška ovog određivanja iznosi 0,05 %.

## 5 LITERATURA

1. Nj. Radić, L. Kukoč Modun, *Uvod u analitičku kemiju*, Školska knjiga,d.d., Zagreb, 2016.
2. URL: [https://chem.libretexts.org/Demos%2C\\_Techniques%2C\\_and\\_Experiments/General\\_Lab\\_Techniques/Titration/Redox\\_Titration](https://chem.libretexts.org/Demos%2C_Techniques%2C_and_Experiments/General_Lab_Techniques/Titration/Redox_Titration) (19.9.2018.)
3. D. C. Harris, *Quantitative Chemical Analysis*, 8th ed., W.H. Freeman and Company, New York, 2010.
4. URL: <http://www.enciklopedija.hr/natuknica.aspx?id=4211> (19.9.2018.)
5. URL: [https://hr.wikipedia.org/wiki/Vitamin\\_C](https://hr.wikipedia.org/wiki/Vitamin_C) (19.9.2018.)
6. G. H. Cristian, *Analitical Chemistry*, 6th ed., John Wiley and Sons, Inc., Washington, 2004.
7. D. A. Skoog, D.M. West, F.J. Holler, S.R. Crouch, *Fundamentals of Analytical Chemistry*, 8th ed., Thomson-Brooks/Cole, Ontario, 2004.
8. *European Pharmacopoeia*, Vol. VII., 7th ed., Council of Europe, Nordlingen, 2011.

## 6 PRILOZI

- **Prilog 1** – Excel proračun, teorijska krivulja titracije određivanja bakrovih(II) iona uz korak od 0,05 mL
- **Prilog 2** – Snimka provođenje eksperimenta: Standardizacija natrijevog tiosulfata otopinom kalijevog bromata
- **Prilog 3** – Snimka provođenje eksperimenta: Određivanje bakrovih(II) iona
- **Prilog 4** – Snimka provođenje eksperimenta: Određivanje bakrovih(II) iona potenciometrijski praćeno
- **Prilog 5** – Snimka provođenje eksperimenta: Standardizacija natrijevog tiosulfata otopinom kalijevog jodata
- **Prilog 6** – Snimka provođenje eksperimenta: Određivanje koncentracije aksorbinske kiseline u realnom uzorku: Plivit C tablete (500 mg)